

物理エンジンの概要

生い立ち、仕組み、特徴、上手な使い方

東京工業大学 未来産業技術研究所

長谷川晶一

目次

- 解析解と物理シミュレーションと物理エンジンの違い
- 物理エンジンの生い立ち
- 物理エンジンの仕組み
 - 速度拘束をLCPに帰着させて解くタイプの物理エンジンの計算
 - 接触判定
- 安定性と制御
- 関節だけ高精度にシミュレーションする手法

解析解と物理シミュレーションと物理エンジンの違い

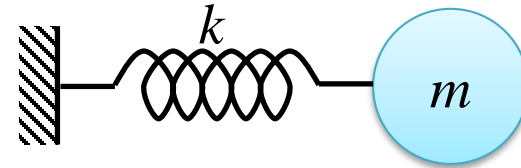


解析解と数値シミュレーション

- 解析

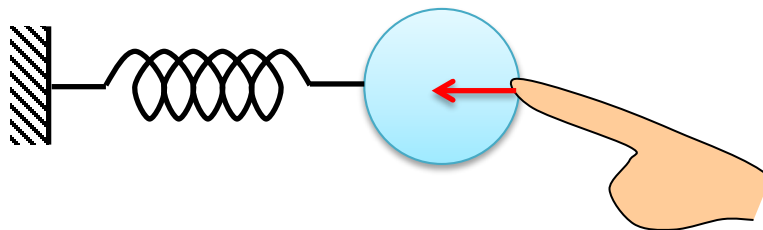
- 運動方程式 $ma = f$

- フックの法則 $f = -kx$



- $ma = -kx \rightarrow$ 調和振動 $\rightarrow x = A\cos\omega t + B\sin\omega t$ $\omega \equiv \sqrt{\frac{k}{m}}$

- 変化に対応できない



$$f = -kx + f_c(t)$$

$$x = ???$$

解析解と数値シミュレーション

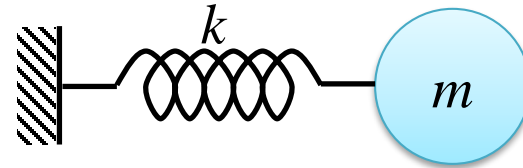
●数値シミュレーション

- $ma = -kx$

$$m(v(t + \Delta t) - v(t)) = -kx$$

$$v(t + \Delta t) = -\frac{k}{m}x \Delta t$$

- $x(t + \Delta t) = x(t) + v(t)\Delta t$



$$v(0) = 0$$

$$v(0.1) = -1 \cdot 0.1 + 0 = -0.1$$

$$v(0.2) = -1 \cdot 0.1 - 0.1 = -0.2$$

$$v(0.3) = -0.99 \cdot 0.1 - 0.2 = -0.299$$

$$x(0) = 1$$

$$x(0.1) = -0 \cdot 0.1 + 1 = 1$$

$$x(0.2) = -0.1 \cdot 0.1 + 1 = 0.99$$

$$x(0.3) = -0.2 \cdot 0.1 + 0.99 = 0.97$$

数値
シミュレ
ーション

数値シミュレーション

- 変化に対応できる

- $ma = -kx + f_c(t)$

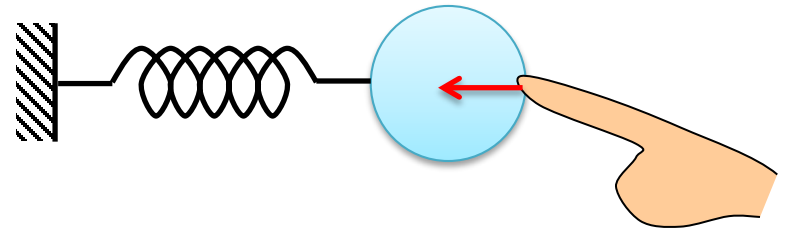
$$m(v(t + \Delta t) - v(t)) = -kx + f_c(t)$$

$$v(t + \Delta t) = -\frac{k}{m}x + f_c(t)\Delta t$$

$$v(0) = 0$$

$$v(0.1) = -1 \cdot 0.1 + 0 = -0.1$$

$$v(0.2) = -1 \cdot 0.1 + f_c(0.2) - 0.1 = -0.2 + f_c(0.2)$$



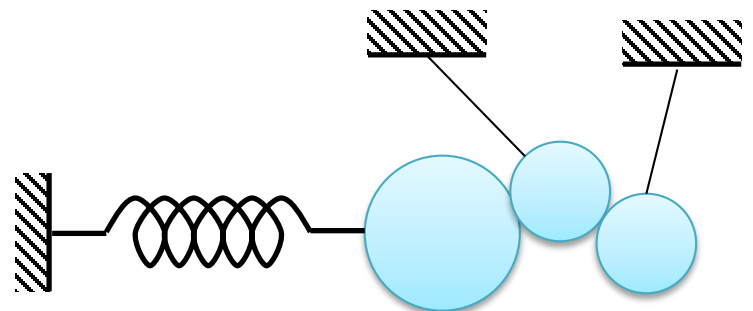
$$x(0) = 1$$

$$x(0.1) = -0 \cdot 0.1 + 1 = 1$$

$$x(0.2) = -0.1 \cdot 0.1 + 1 = 0.99$$

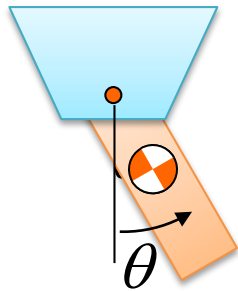
- 変化する機構には対応できない

- 機構毎に運動方程式が必要



物理シミュレーションと物理エンジンの違い

- 普通の物理シミュレーション
 - 運動方程式を人が立てる（解析力学を使うにしても）



$$(ml + I)\ddot{\theta} = -mg \sin \theta$$

↑
この式は人が見つける

$$L = K - U = \frac{1}{2}(ml + I)\dot{\theta}^2 - mg \cos \theta \quad \leftarrow \text{解析力学を使う場合でも}$$

エネルギーの式は人が見つける

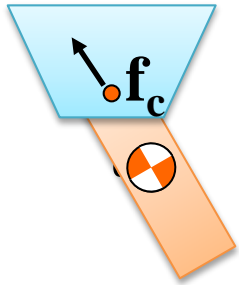
$$\frac{\partial}{\partial t} \left(\frac{\partial L}{\partial \dot{\theta}} \right) - \frac{\partial L}{\partial \theta} = (ml + I)\ddot{\theta} + mg \sin \theta = 0$$

- 位置と速度の更新の式に変形し、シミュレーションする

物理シミュレーションと物理エンジンの違い

●物理エンジン

- 機構の設定から、運動方程式を自動的に立てる



$$m\dot{v} = f_c + mg$$

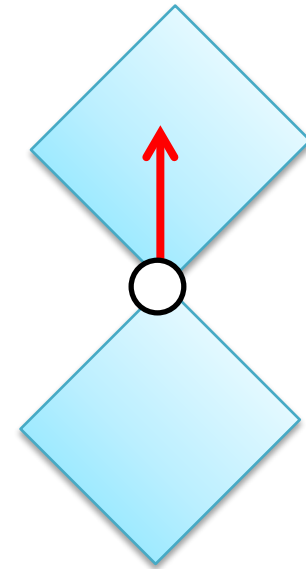
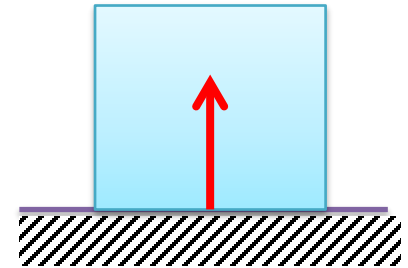
$$I\dot{\omega} = r_c \times f_c$$

ニュートン・オイラーの運動方程式
+ 拘束力 f_c

- 拘束力 f_c を求めながら、剛体の位置、速度を更新する
- 接触など運動方程式の変化に対応できる

拘束力とは？

- 拘束を守らせる力
 - 物体の運動により決まる
- 例
 - 抗力
 - 物体が床に侵入しないように保つ力
 - 蝶番: 軸回りの回転だけが可能
 - 位置と回転軸以外の向きを保つ力
- 他の外力は与えられている
 - 重量: $f_g = mg$ ($g = 9.8m/s^2$)



物理エンジンの生い立ち

物理エンジンの生い立ち

- 物理エンジン

- 多数の剛体運動(マルチボディダイナミクス)のシミュレータ

- 剛体の運動

- ニュートン力学(1736)、オイラーの運動方程式(1765)、ラグランジュの解析力学(1788)

- ADAMS (N. Orlandea et.al. 1977)

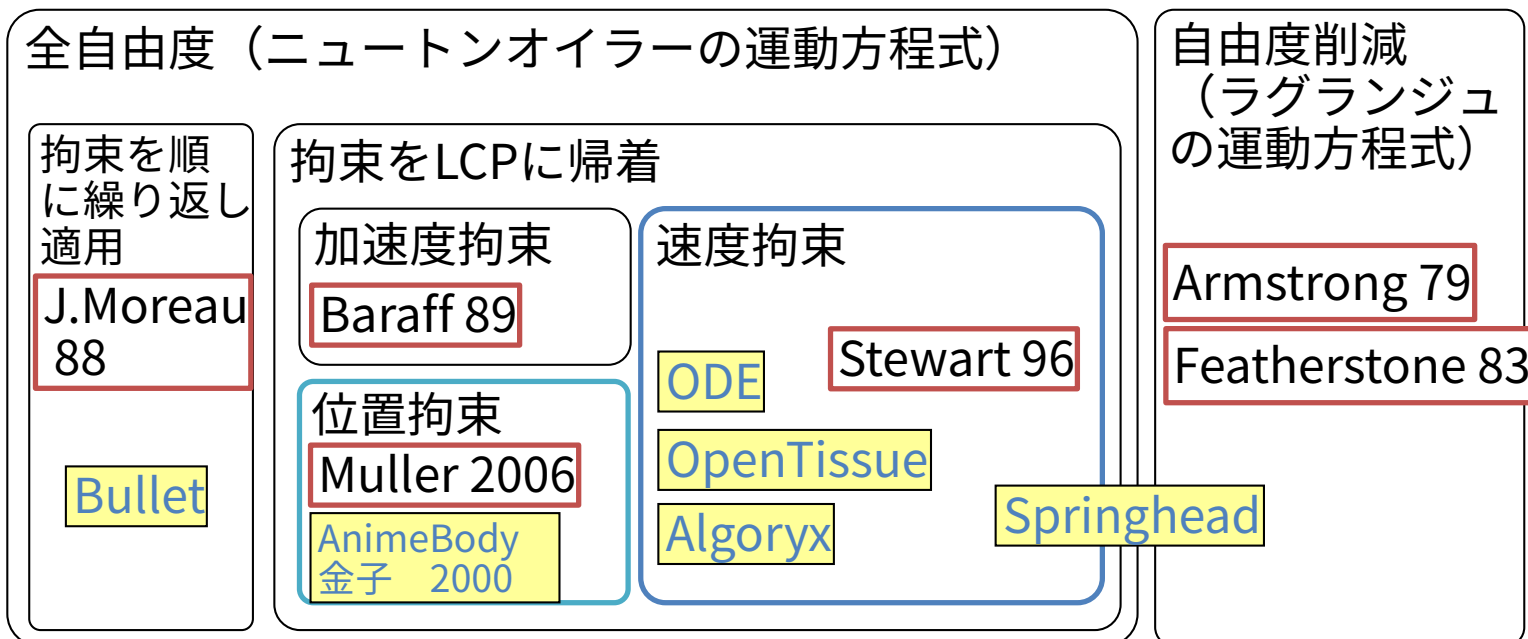
- 剛体毎にラグランジュの運動方程式を立て、拘束力を求めながらシミュレーション
- 最初のマルチボディダイナミクス解析ツール

マルチボディダイナミクスの色々

- 問題
 - 初期値問題、境界値問題、振動解析
- 運動方程式
 - 全自由度（ニュートン・オイラーの運動方程式）
 - 自由度削減（ラグランジュの運動方程式）
- 積分の仕方
 - 前進積分、後退積分、シンプレクティック、
- 拘束条件の書き方
 - 加速度の式
 - 速度の式
 - 位置の式
- 連立不等式の計算法
 - 直接法
 - LCP、QP
 - 拘束を順に解くことを繰り返す

マルチボディダイナミクスの色々

- 多体の剛体運動(マルチボディダイナミクス)のシミュレータ(初期値問題)の分類 (論文とライブラリ)



物理エンジンの生い立ち

- アニメーション、ゲームへの応用

Ex:Armstrong 1979はロボット、1985はコンピュータグラフィクス

- ゲームの要求

- リアルタイム性

- 剛体数大、接触状態の変化が多い

- 1997 Karma physics simulation engine (MathEngine)

- 最初のゲーム向け物理エンジン（たぶん）

- 2000頃、ゲーム向け：Havok, Unreal2, PhysX, Natural Motion

- 精度より速度

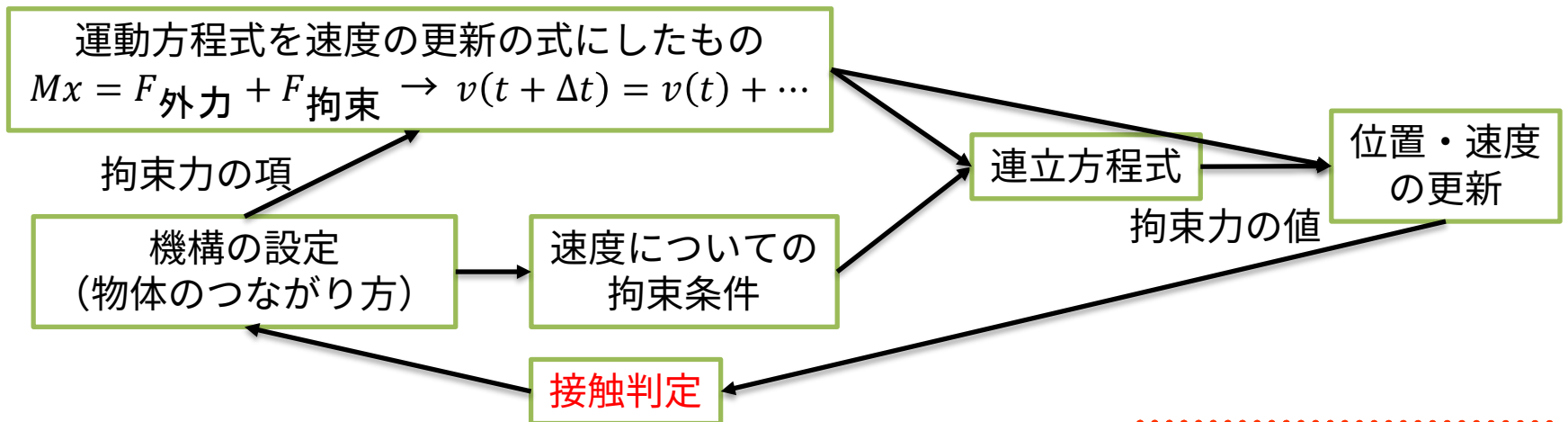
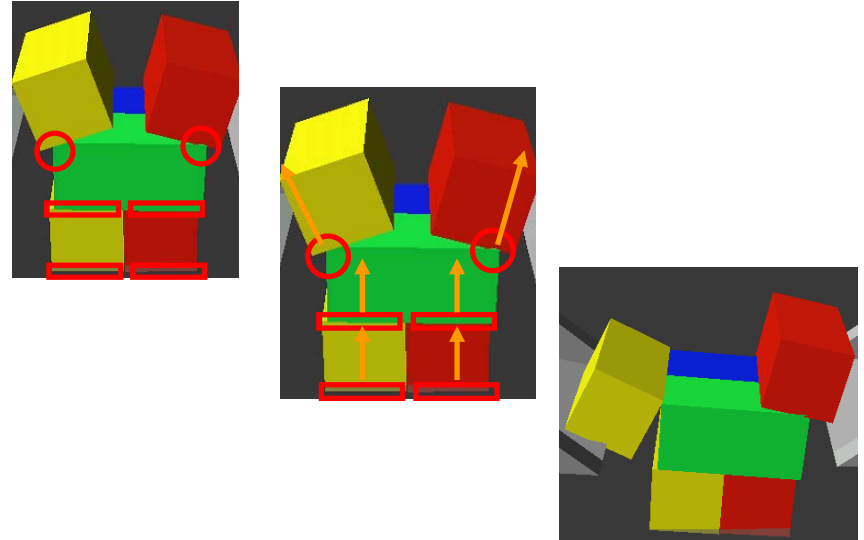
- 同じ頃、ロボット向け：Vortex, Algoryx

- 精度も速度も

物理エンジンの仕組み

物理エンジンの計算の流れ

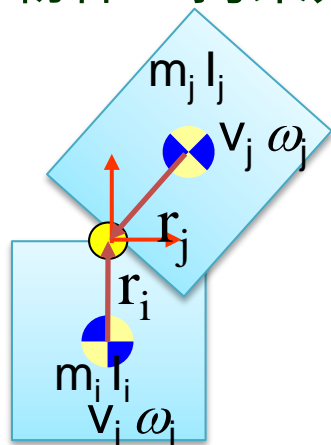
1. 接触を見つけ、拘束を更新
2. 拘束力を求める
3. 位置・速度を更新する



速度拘束をLCPに帰着させて解くタイプの 物理エンジンの計算

剛体の運動方程式 (ニュートン・オイラー)

● 2物体 + 拘束力 + 外力

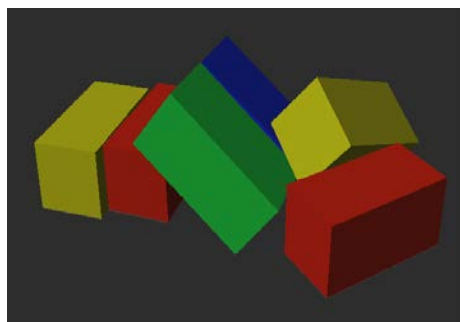


慣性 M 速度 角速度 U 拘束力 f_c その他の外力 重力等 f_e

$$\begin{bmatrix} m_i \mathbf{E}_{33} & 0 & 0 & 0 \\ 0 & I_i & 0 & 0 \\ 0 & 0 & m_j \mathbf{E}_{33} & 0 \\ 0 & 0 & 0 & I_j \end{bmatrix} \begin{bmatrix} \dot{v}_i \\ \omega_i \\ \dot{v}_j \\ \omega_j \end{bmatrix} = \begin{bmatrix} f_{ci} \\ \tau_{ci} \\ f_{cj} \\ \tau_{cj} \end{bmatrix} + \begin{bmatrix} f_{ei} \\ \tau_{ei} \\ f_{ej} \\ \tau_{ej} \end{bmatrix}$$

$$\mathbf{E}_{33} = \begin{bmatrix} 1 & 0 & 0 \\ 0 & 1 & 0 \\ 0 & 0 & 1 \end{bmatrix}$$

● たくさんの剛体 + 拘束力 + 外力



$$M \dot{u} = f_c + f_e$$

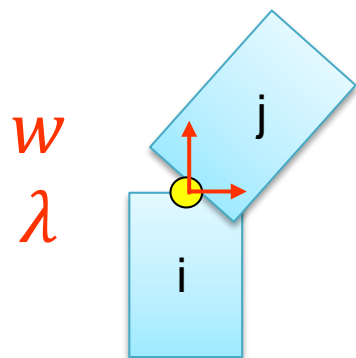
$$M = \begin{bmatrix} M_1 & & & \\ & M_2 & & \\ & & \dots & \\ & & & M_n \end{bmatrix} \quad u = \begin{bmatrix} v_1 \\ \omega_1 \\ v_2 \\ \omega_2 \\ \vdots \\ v_n \\ \omega_n \end{bmatrix} \quad f_c = \begin{bmatrix} f_{c1} \\ \tau_{c1} \\ f_{c2} \\ \tau_{c2} \\ \vdots \\ f_{cn} \\ \tau_{cn} \end{bmatrix} \quad f_e = \begin{bmatrix} f_{e1} \\ \tau_{e1} \\ f_{e2} \\ \tau_{e2} \\ \vdots \\ f_{en} \\ \tau_{en} \end{bmatrix}$$

$$M_i = \begin{bmatrix} m_i \mathbf{E}_{33} & \\ & I_i \end{bmatrix}$$

$$M \dot{u} = f_c + f_e$$

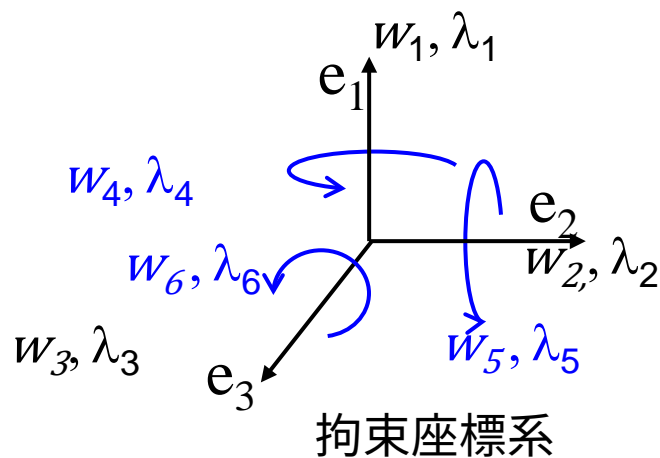
$$u[t+1] = u[t] + M^{-1} \Delta t f_c + M^{-1} \Delta t f_e \dots \dots \dots$$

拘束条件 (蝶番関節=ヒンジジョイントの例)



W 関節位置での相対速度

λ 関節位置での拘束力と拘束トルク

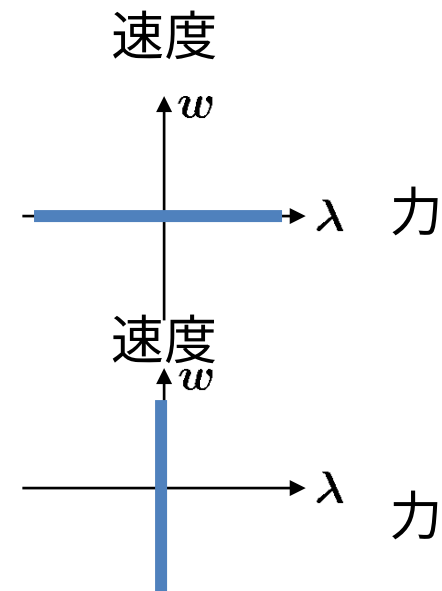


- 蝶番の軸 e_3 だけが回転する

$$w_1, w_2, w_3, w_4, w_5 = 0$$

- 蝶番の軸 e_3 は自由に回転 = トルクなし

$$\lambda_6 = 0$$

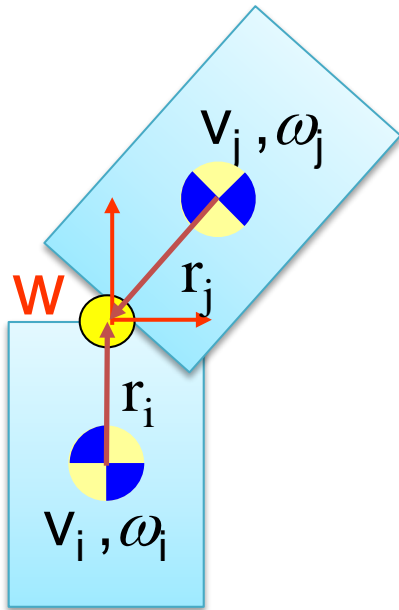


拘束と運動方程式の連立方程式を解く

● 運動方程式を拘束座標系で表す → w, λ を使う

v_i, ω_i : 物体 i の速度、角速度

w : i からみた j の速度、角速度を拘束の座標系で書いたもの



$$\begin{aligned}
 w_1 &= \mathbf{e}_1 \cdot ((\mathbf{v}_j + \boldsymbol{\omega}_j \times \mathbf{r}_j) - (\mathbf{v}_i + \boldsymbol{\omega}_i \times \mathbf{r}_i)) \\
 &= \mathbf{e}_1^t ((\mathbf{v}_j - \mathbf{r}_j^\times \boldsymbol{\omega}_j) - (\mathbf{v}_i - \mathbf{r}_i^\times \boldsymbol{\omega}_i)) \\
 &= \mathbf{e}_1^t \mathbf{v}_j - \mathbf{e}_1^t \mathbf{r}_j^\times \boldsymbol{\omega}_j - \mathbf{e}_1^t \mathbf{v}_i + \mathbf{e}_1^t \mathbf{r}_i^\times \boldsymbol{\omega}_i \\
 &= \mathbf{e}_1^t \mathbf{v}_j + (\mathbf{r}_j^\times \mathbf{e}_1)^t \boldsymbol{\omega}_j - \mathbf{e}_1^t \mathbf{v}_i - (\mathbf{r}_i^\times \mathbf{e}_1)^t \boldsymbol{\omega}_i \\
 &= \begin{bmatrix} -\mathbf{e}_1^t & -(\mathbf{r}_i^\times \mathbf{e}_1)^t & \mathbf{e}_1^t & (\mathbf{r}_j^\times \mathbf{e}_1)^t \end{bmatrix} \begin{bmatrix} \mathbf{v}_i \\ \boldsymbol{\omega}_i \\ \mathbf{v}_j \\ \boldsymbol{\omega}_j \end{bmatrix} \\
 &\quad \mathbf{J}_{\text{row1}} \quad \mathbf{u}
 \end{aligned}$$

$$\begin{aligned}
 w_4 &= \mathbf{e}_1 \cdot (\boldsymbol{\omega}_j - \boldsymbol{\omega}_i) \\
 &= \mathbf{e}_1^t \boldsymbol{\omega}_j - \mathbf{e}_1^t \boldsymbol{\omega}_i
 \end{aligned}$$

$$= \begin{bmatrix} \mathbf{0}^t & -\mathbf{e}_1^t & \mathbf{0}^t & \mathbf{e}_1^t \end{bmatrix} \begin{bmatrix} \mathbf{v}_i \\ \boldsymbol{\omega}_i \\ \mathbf{v}_j \\ \boldsymbol{\omega}_j \end{bmatrix} \\
 \quad \mathbf{J}_{\text{row4}} \quad \mathbf{u}$$

外積の行列表示

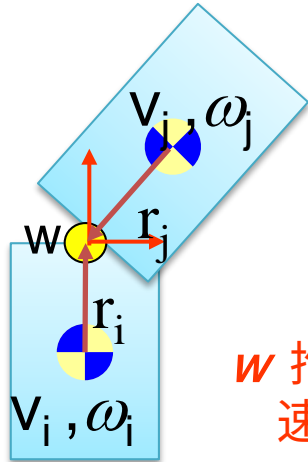
$$\begin{aligned}
 \mathbf{a} \times \mathbf{b} &= \mathbf{a}^\times \mathbf{b} \\
 \mathbf{a}^\times &= \begin{bmatrix} 0 & -a_3 & a_2 \\ a_3 & 0 & -a_1 \\ -a_2 & a_1 & 0 \end{bmatrix}
 \end{aligned}$$

w_2, w_3, w_5, w_6 も同様に書ける

拘束と運動方程式の連立方程式を解く

v_i, ω_i : 物体 i の速度、角速度

v_j, ω_j : 物体 j の速度、角速度



w 拘束座標での
速度・角速度

$$w = \begin{bmatrix} -e_1^t & -(r_i^\times e_1)^t & e_1^t & (r_j^\times e_1)^t \\ -e_2^t & -(r_i^\times e_2)^t & e_2^t & (r_j^\times e_2)^t \\ -e_3^t & -(r_i^\times e_3)^t & e_3^t & (r_j^\times e_3)^t \\ 0^t & -e_1^t & 0^t & e_1^t \\ 0^t & -e_2^t & 0^t & e_2^t \\ 0^t & -e_3^t & 0^t & e_3^t \end{bmatrix} \begin{bmatrix} v_i \\ \omega_i \\ v_j \\ \omega_j \end{bmatrix}$$

$w = J u$ u 剛体座標の速度・角速度

f_j, τ_j : i から j に加わる拘束力を剛体の座標系で書いたもの

λ : i から j に加わる拘束力を拘束の座標系で書いたもの

$$f_j = \lambda_1 e_1 + \lambda_2 e_2 + \lambda_3 e_3$$

$$\tau_j = r_j^\times (\lambda_1 e_1 + \lambda_2 e_2 + \lambda_3 e_3) + \lambda_4 e_1 + \lambda_5 e_2 + \lambda_6 e_3$$

$$\begin{bmatrix} f_i \\ \tau_i \\ f_j \\ \tau_j \end{bmatrix} = \begin{bmatrix} -e_1 & -e_2 & -e_3 & 0 & 0 & 0 \\ -r_j^\times e_1 & -r_j^\times e_2 & -r_j^\times e_3 & -e_1 & -e_2 & -e_3 \\ e_1 & e_2 & e_3 & 0 & 0 & 0 \\ r_j^\times e_1 & r_j^\times e_2 & r_j^\times e_3 & e_1 & e_2 & e_3 \end{bmatrix} \lambda$$

f_c 剛体座標での
力・トルク

$f_c = J^t \lambda$ λ 拘束座標での力・トルク

拘束と運動方程式の連立方程式を解く

- 拘束を代入するために、 J を使って運動方程式を変形する

$$M\dot{u} = f_c + f_e = J^t\lambda + f_e$$

$$u[t+1] = u[t] + M^{-1}\Delta t J^t\lambda + M^{-1}\Delta t f_e$$

$$u[t+1] = u[t] + M^{-1}\Delta t J^t\lambda + M^{-1}\Delta t f_e$$

$$Ju[t+1] = Ju[t] + JM^{-1}\Delta t J^t\lambda + JM^{-1}\Delta t f_e$$

$$w[t+1] = w[t] + JM^{-1}J^t\Delta t\lambda + JM^{-1}\Delta t f_e$$

$$w[t+1] = A\lambda + b$$

- 拘束条件と連立させる(蝶番の例)

$$\begin{aligned} \text{拘束: } w_1, w_2, w_3, w_4, w_5 &= 0 \\ \lambda_6 &= 0 \end{aligned}$$

運動方程式に代入：

$$\begin{bmatrix} 0 \\ 0 \\ 0 \\ 0 \\ 0 \\ w_6[t+1] \end{bmatrix} = A \begin{bmatrix} \lambda_1 \\ \lambda_2 \\ \lambda_3 \\ \lambda_4 \\ \lambda_5 \\ 0 \end{bmatrix} + b \quad \leftarrow \text{連立方程式を解いて求める}$$

速度・位置の更新

- 拘束力 λ を計算

$$w[t+1] = A\lambda + b \quad A = JM^{-1}J^t\Delta t$$

$$b = w[t] + JM^{-1}\Delta tf_e$$

- 剛体の速度を更新

$$u[t+1] = u[t] + M^{-1}\Delta tJ^t\lambda + M^{-1}\Delta tf_e$$

- 剛体の位置を更新

$$s[t+1] = s[t] + S\Delta tu[t+1]$$

全剛体の
位置姿勢

$$s = \begin{bmatrix} r_1 \\ q_1 \\ r_2 \\ q_2 \\ \vdots \\ r_n \\ q_n \end{bmatrix}$$

位置

$$r_i = \begin{bmatrix} r_{ix} \\ r_{iy} \\ r_{iz} \end{bmatrix}$$

姿勢
Quaternion

$$q_i = \begin{bmatrix} r_{iw} \\ r_{ix} \\ r_{iy} \\ r_{iz} \end{bmatrix}$$

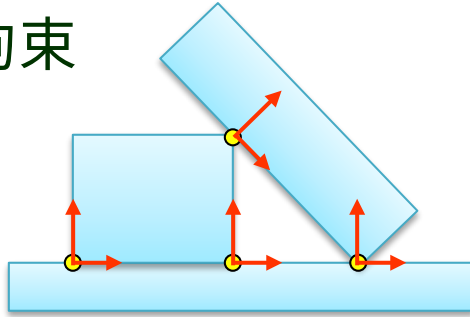
$$S = \begin{bmatrix} E_{33} & & & \\ & Q_1 & & \\ & & \ddots & \\ & & & E_{33} \\ & & & & Q_n \end{bmatrix}$$

速度を
Quaternionの微分に
変換する行列 $Q_i = \frac{1}{2} \begin{bmatrix} -x_i & -y_i & -z_i \\ w_i & z_i & -y_i \\ -z_i & w_i & x_i \\ y_i & -x_i & w_i \end{bmatrix}$

$$\dot{q}_i = Q_i \omega_i$$

接触の拘束

●接触拘束



w 接触点の座標系での相対速度

λ 接触点の座標系での接触力

- 法線方向：お互いに侵入しない＝
侵入時は接触力が働き速度0、離れるときは接触力が0
 $(\lambda_1 > 0) \wedge (w_1 = 0)$ or $(\lambda_1 = 0) \wedge (w_1 > 0)$

- 接線方向：静止摩擦／動摩擦：

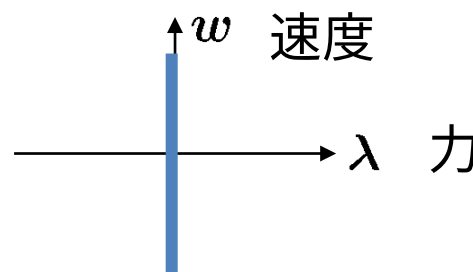
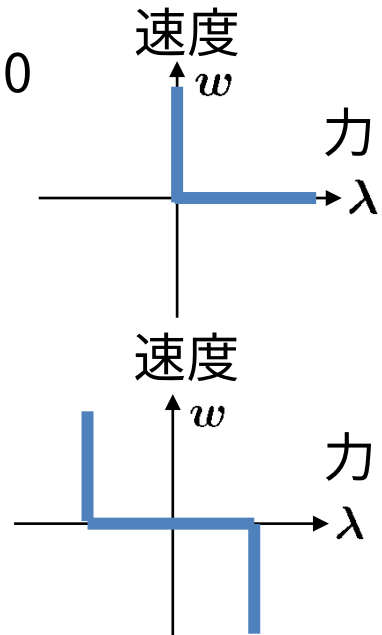
$$(-\mu\lambda_1 < \lambda_2, \lambda_3 < \mu\lambda_1) \wedge (w_2, w_3 = 0) \text{ or}$$

$$(\lambda_2 = \mu\lambda_1 \wedge w_2 > 0) \vee (\lambda_2 = -\mu\lambda_1 \wedge w_2 < 0),$$

$$(\lambda_3 = \mu\lambda_1 \wedge w_3 > 0) \vee (\lambda_3 = -\mu\lambda_1 \wedge w_3 < 0)$$

- トルクは0：

$$\lambda_4, \lambda_5, \lambda_6 = 0$$



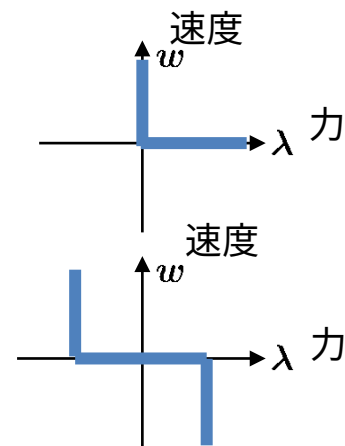
拘束条件を連立

- 拘束座標系に変換した運動方程式に、

$$w[t+1] = A\lambda + b$$

- 拘束条件を代入

$$\begin{aligned} & (\lambda_1 > 0) \wedge (w_1 = 0) \text{ or } (\lambda_1 = 0) \wedge (w_1 > 0) \\ & (-\mu\lambda_1 < \lambda_2, \lambda_3 < \mu\lambda_1) \wedge (w_2, w_3 = 0) \text{ or} \\ & (\lambda_2 = \mu\lambda_1 \wedge w_2 > 0) \vee (\lambda_2 = -\mu\lambda_1 \wedge w_2 < 0), \\ & (\lambda_3 = \mu\lambda_1 \wedge w_3 > 0) \vee (\lambda_3 = -\mu\lambda_1 \wedge w_3 < 0) \end{aligned}$$

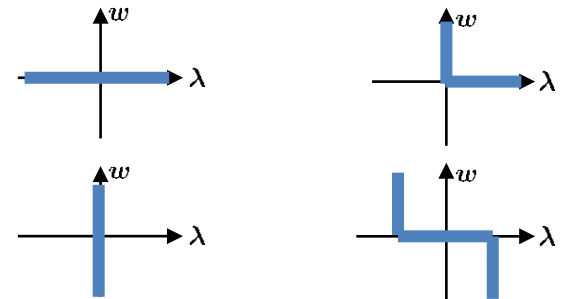


を解いてみて、
 λ_i が $w_i = 0$ の条件から外れた場合、
 $\lambda_i = \text{固定値}$ として w_i を求める。

$$\begin{bmatrix} 0 \\ 0 \\ 0 \\ w_4 \\ w_5 \\ w_6 \end{bmatrix} = \mathbf{A} \begin{bmatrix} \lambda_1 \\ \lambda_2 \\ \lambda_3 \\ 0 \\ 0 \\ 0 \end{bmatrix} + \mathbf{b}$$

まとめ

- 物理エンジンでは、拘束を速度ベースで定式化し、運動方程式(速度の更新式)と連立させて、LCPにして解く方法が良く使われる。
- 具体的な計算
 - 速度の更新式をヤコビアン J で座標変換
→ w と λ の運動方程式
 - 拘束を相対速度 w と拘束力 λ についての式に定式化
 w と λ の運動方程式に代入 → LCPになる
 - LCPを解いて λ を求め、剛体の速度・位置を更新
- 拘束
 - 関節は直線、接触は折れ線
 - 2変数あるように見えて実質1変数

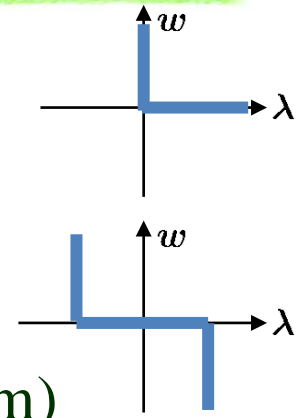


連立方程式の解き方

●拘束を組み込んだ運動方程式

$$w[t + 1] = A\lambda + b \quad \text{式1本で変数が2つ}$$

+ w_i と λ_i の相補条件 (片方が動くとき片方は固定)



線形相補問題 (LCP: Linear Complementary Problem)

●LCPを解く

- ピボット法 . . . 厳密. 低速
- 反復解法 . . . 高速. 精度は反復回数に依る
- 行列分割法
 - ヤコビ法
 - ガウス・ザイデル法
- ニュートン法

ガウスザイデル法・SOR法

●行列分割法

- 巨大な連立方程式の近似解を少ない計算で解く方法のひとつ

$$w[t+1] = A\lambda + b$$

$$w[t+1] = (D - F)\lambda + b$$

$$D\lambda = F\lambda + w[t+1] - b$$

$$\lambda = D^{-1}F\lambda + D^{-1}(w[t+1] - b)$$

もし、漸化式

$$\lambda^{i+1} = D^{-1}F\lambda^i + D^{-1}(w[t+1] - b)$$

が収束するなら

$$\lambda^\infty = D^{-1}F\lambda^\infty + D^{-1}(w[t+1] - b)$$

なので、求めたい $\lambda = \lambda^\infty$ となる。

**Aが正定値対称行列なら収束する
細長いもの・慣性テンソルが小さいものは
収束しにくい**

- Dは対角行列のような簡単な行列にする。
- DをAの対角成分とし、残りをFとしたのがヤコビ法
- それを工夫したのがガウスザイデル法

ガウスザイデル法・SOR法

●ガウスザイデル法

$$\lambda_{i+1} = D^{-1}F\lambda_i + w[t+1] - b$$

ヤコビ法: λ を一度に更新

$$\begin{bmatrix} \lambda_1^{i+1} \\ \lambda_2^{i+1} \\ \lambda_3^{i+1} \\ \vdots \\ \lambda_n^{i+1} \end{bmatrix} = D^{-1}F \begin{bmatrix} \lambda_1^i \\ \lambda_2^i \\ \lambda_3^i \\ \vdots \\ \lambda_n^i \end{bmatrix} + D^{-1}w[t+1] - D^{-1}b$$

ガウス・ザイデル法: λ を1行ずつ更新

$$\begin{bmatrix} \lambda_1^{i+1} \\ \lambda_2^{i+1} \\ \lambda_3^{i+1} \\ \vdots \\ \lambda_n^{i+1} \end{bmatrix} = D^{-1}F \begin{bmatrix} \lambda_1^{i+1} \\ \lambda_2^{i+1} \\ \lambda_3^i \\ \vdots \\ \lambda_n^i \end{bmatrix} + D^{-1}w[t+1] - D^{-1}b$$

更新済み
更新中
未更新

●SOR(Successive Over-Relaxation)法

●ガウスザイデル法をさらに加速

ガウスザイデル法

$$\lambda_j^{i+1} = D^{-1}F_j \begin{bmatrix} \lambda_1^{i+1} \\ \vdots \\ \lambda_n^i \end{bmatrix} + D_j^{-1}w_j[t+1] - D_j^{-1}b_j$$

1.6倍加速

$$\lambda_j^{i+1} = 1.6((D^{-1}F_j \begin{bmatrix} \lambda_1^{i+1} \\ \vdots \\ \lambda_n^i \end{bmatrix} + D_j^{-1}w_j[t+1] - D_j^{-1}b_j) - \lambda_j^i) + \lambda_j^i$$

●早く収束することもある

LCPとガウスザイデル法

●ガウスザイデル法は1行ずつ更新

λ_1^{i+1}		λ_1^{i+1}		更新済み
λ_2^{i+1}		λ_2^{i+1}		更新済み
λ_3^{i+1}	$= D^{-1}F$	λ_3^i	$+ w[t+1] - b$	更新中
\vdots		\vdots		
λ_n^{i+1}		λ_n^i		未更新

●接触力をうまく計算できる

- お互いに侵入しない＝力が働いて止まる 又は 力は働かず離れる:

$$(\lambda_1 > 0) \wedge (w_1 = 0) \text{ or } (\lambda_1 = 0) \wedge (w_1 > 0)$$

λ_1 を更新するたびに、 $\lambda_1 > 0$ をチェック 負になったら $\lambda_1 = 0$ に設定

- 静止摩擦か動摩擦:

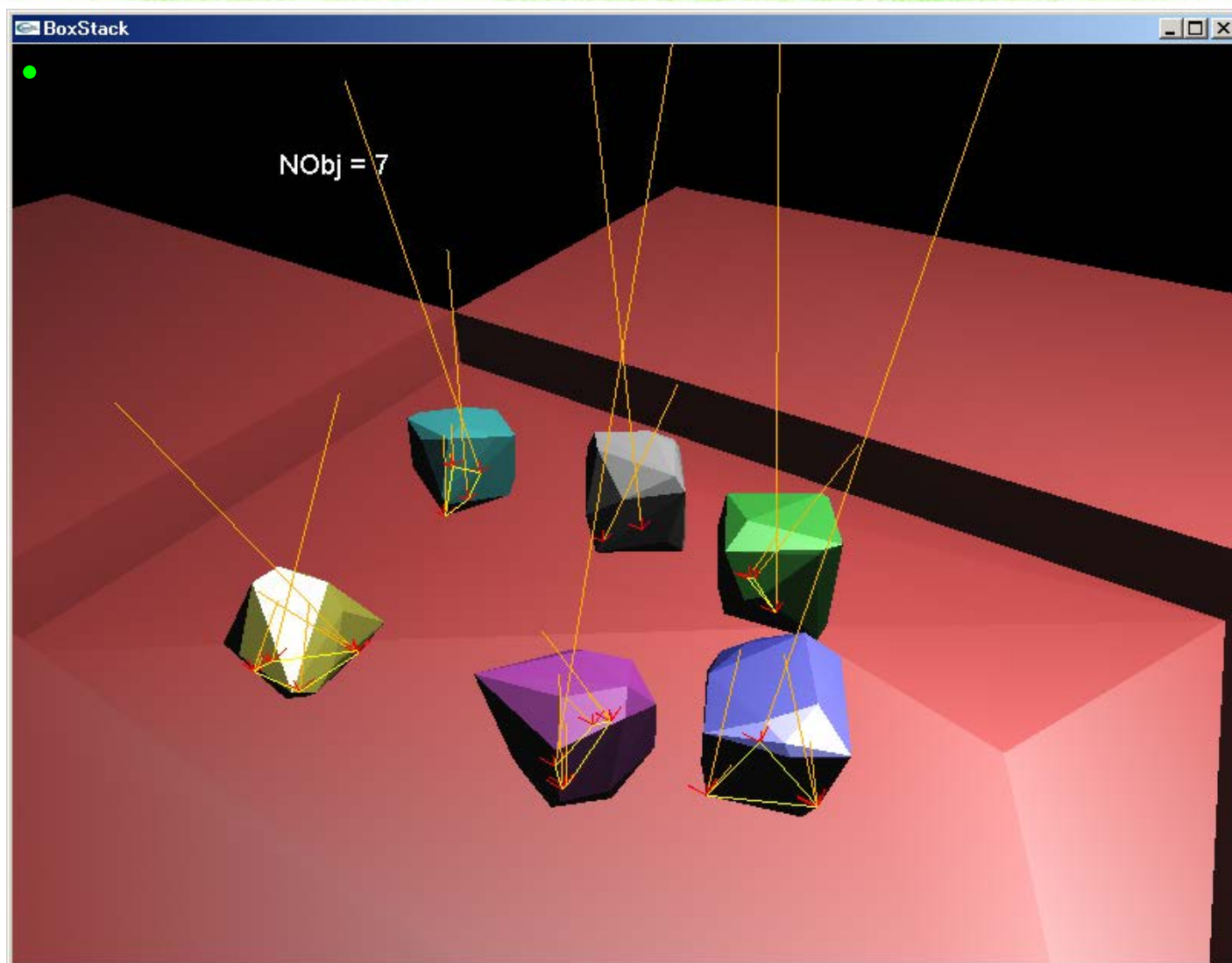
$$(-\mu\lambda_1 < \lambda_2, \lambda_3 < \mu\lambda_1) \wedge (w_2, w_3 = 0) \text{ or}$$

$$(\lambda_2 = \mu\lambda_1 \wedge w_2 > 0) \vee (\lambda_2 = -\mu\lambda_1 \wedge w_2 < 0),$$

$$(\lambda_3 = \mu\lambda_1 \wedge w_3 > 0) \vee (\lambda_3 = -\mu\lambda_1 \wedge w_3 < 0)$$

更新した λ_1 を使って $-\mu\lambda_1 < \lambda_2 < \mu\lambda_1$ をチェック
はみ出したら、 $\lambda_1 = \pm \mu \lambda_1$ でクリップ

シミュレーションの様子



接触判定

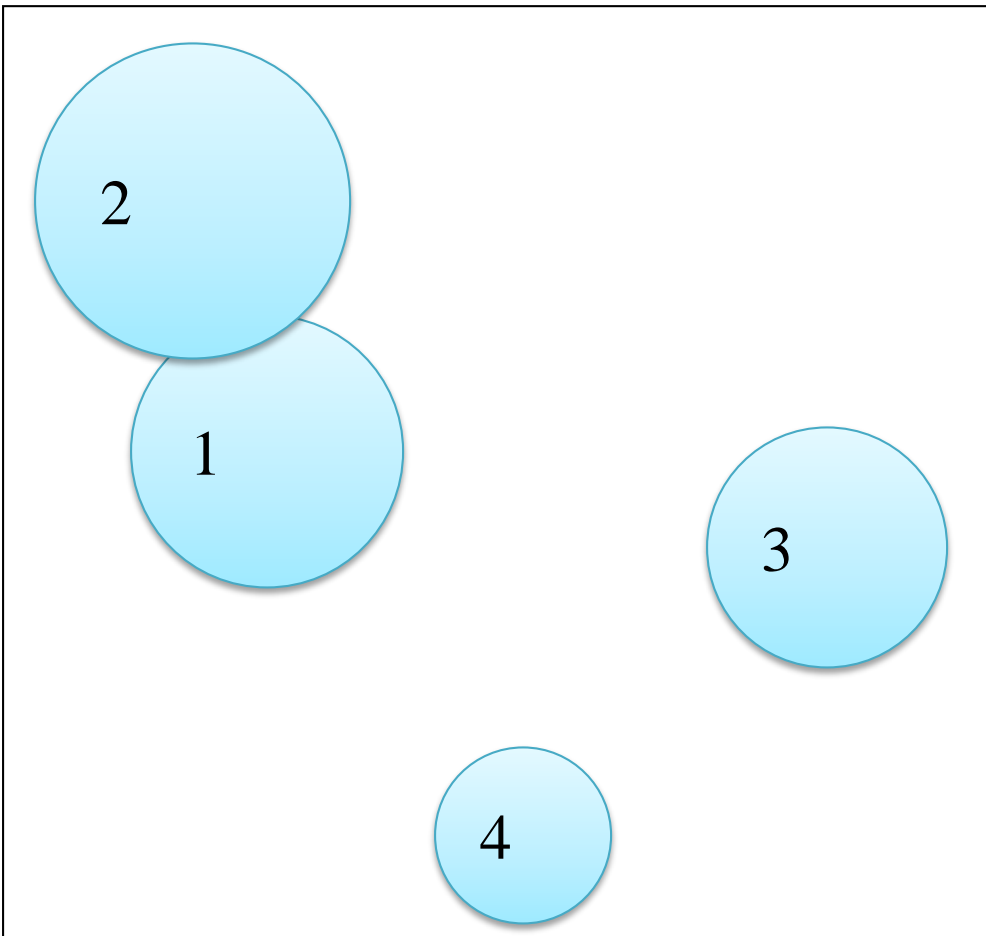
接触判定

- Broad phase(大まかな枝刈り処理)
 - 接触判定とソート
 - 総当り と Sweep and prune
- Narrow phase (ポリゴン同士の判定など) のアルゴリズム
 - 物理シミュレーションに必要な接触情報
 - 接触点と法線
 - 最小と極小
 - GJK, Lin-Canny と 探索

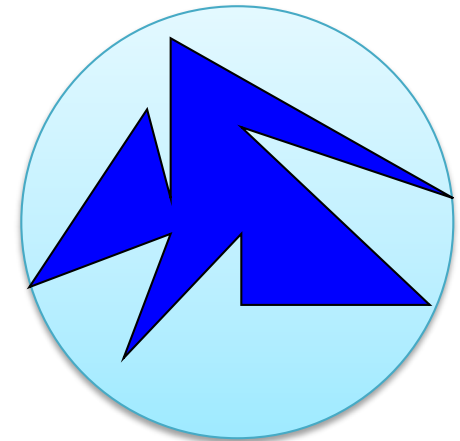
接触判定とソート

- Broad phase

- Bounding Volume 同士の大まかな枝刈り

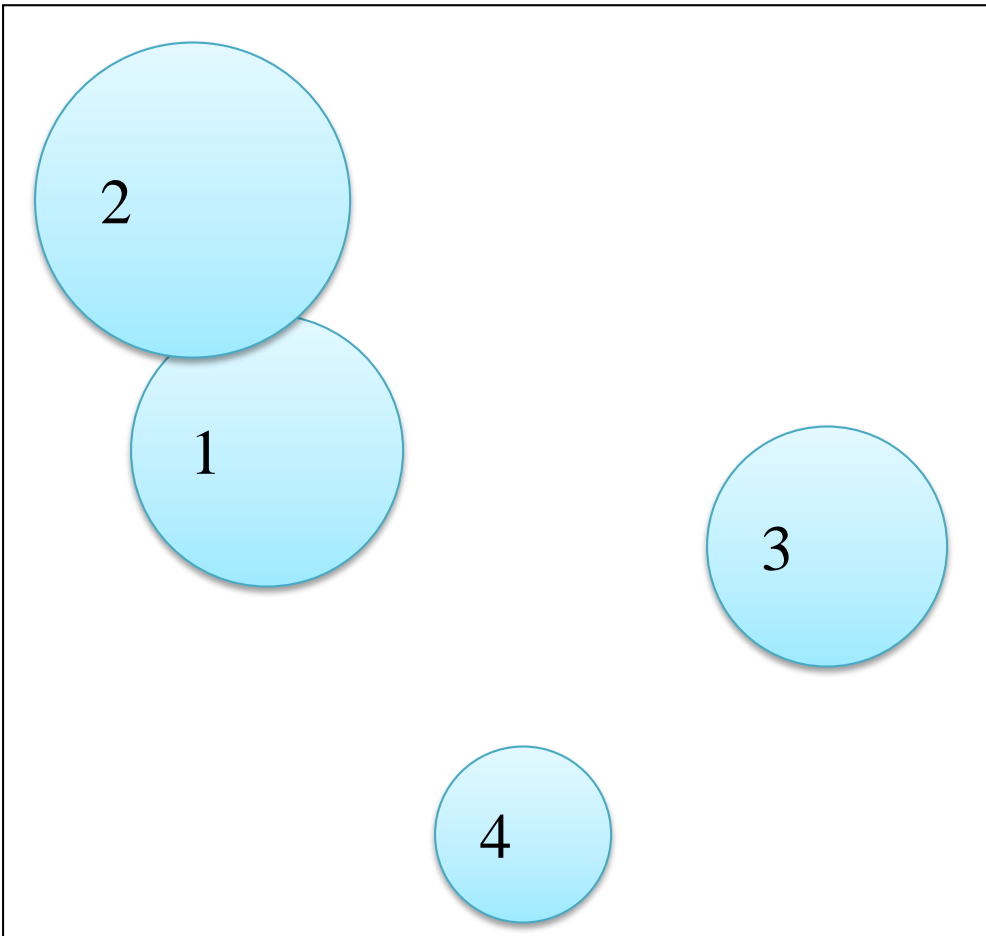


Bounding volume



総当り法

- すべてのペアをチェック
 - $n \cdot (n-1)/2$ 個のペアをチェック



1-2

1-3

1-4

2-3

2-4

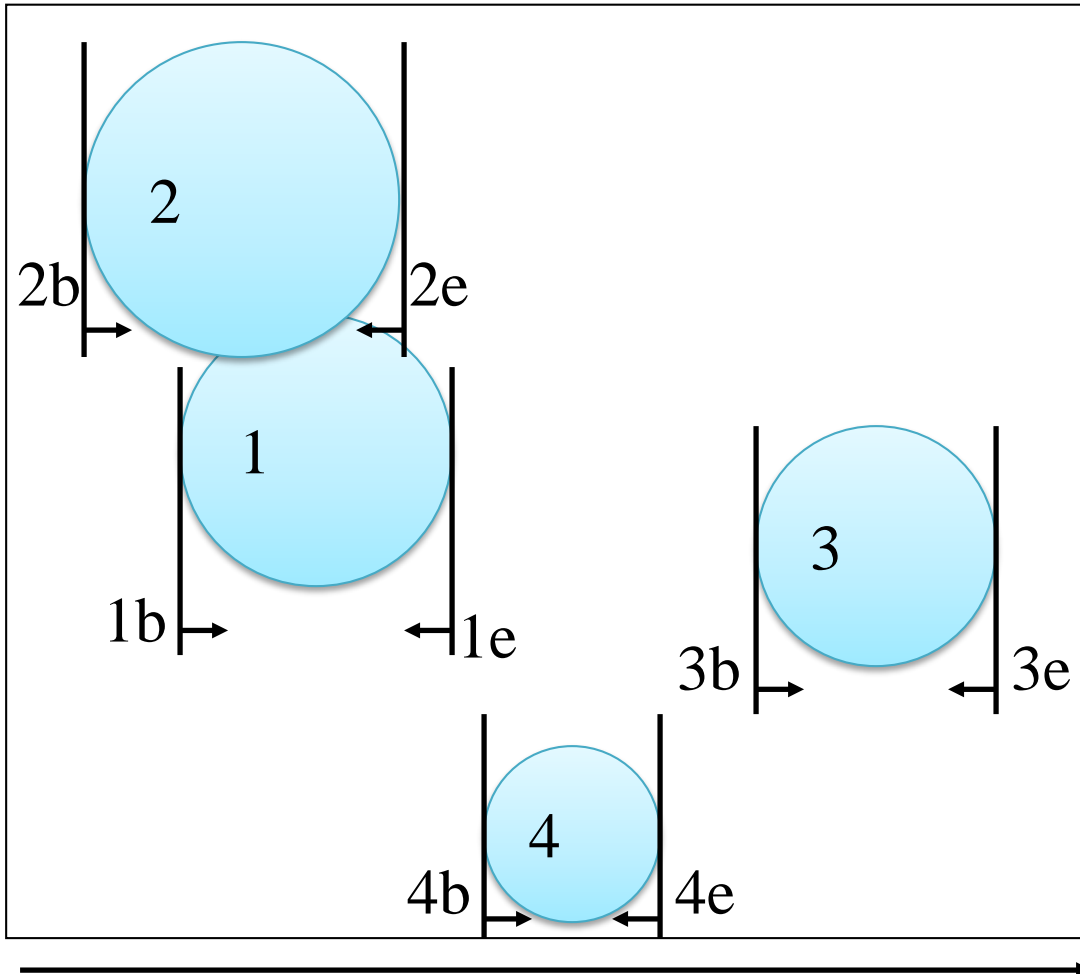
3-4

$$\frac{n \cdot (n-1)}{2} \text{回}$$

重なっているかチェック

Sweep and prune

- 最初にある軸についてソート
- 重なっている可能性のあるものだけを判定

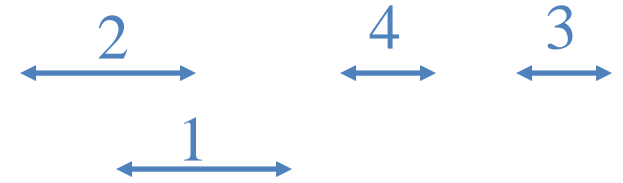


ソート

2b 1b 2e 1e 4b 4e 3b 3e

左から重なりをチェック

2b 1b 2e 1e 4b 4e 3b 3e



1-2

n回チェック

ソート+n回チェック



ソートのアルゴリズム

- Selection sort (総当り)

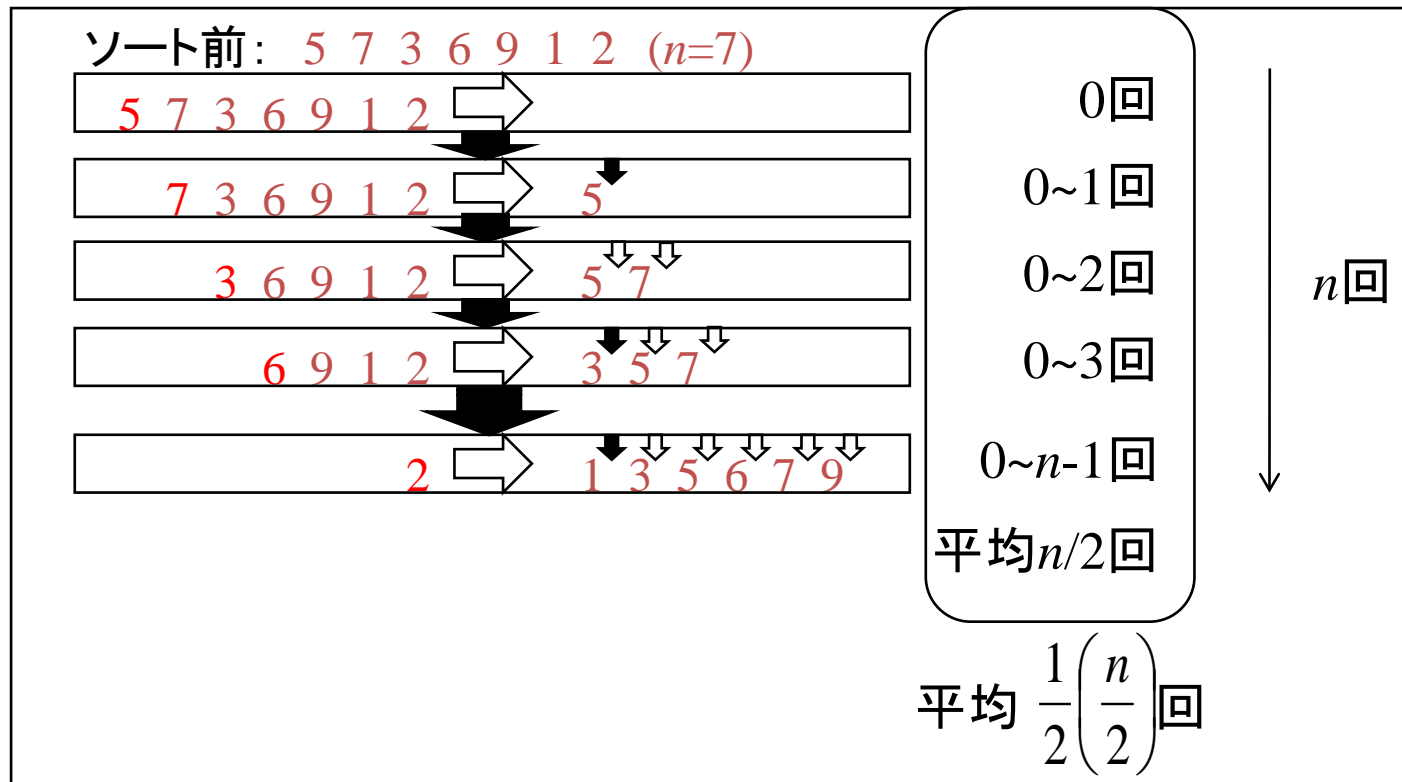
$$O(n^2)$$

- Quick sort

$$O(n \log n)$$

Sweep and prune に最適なソート

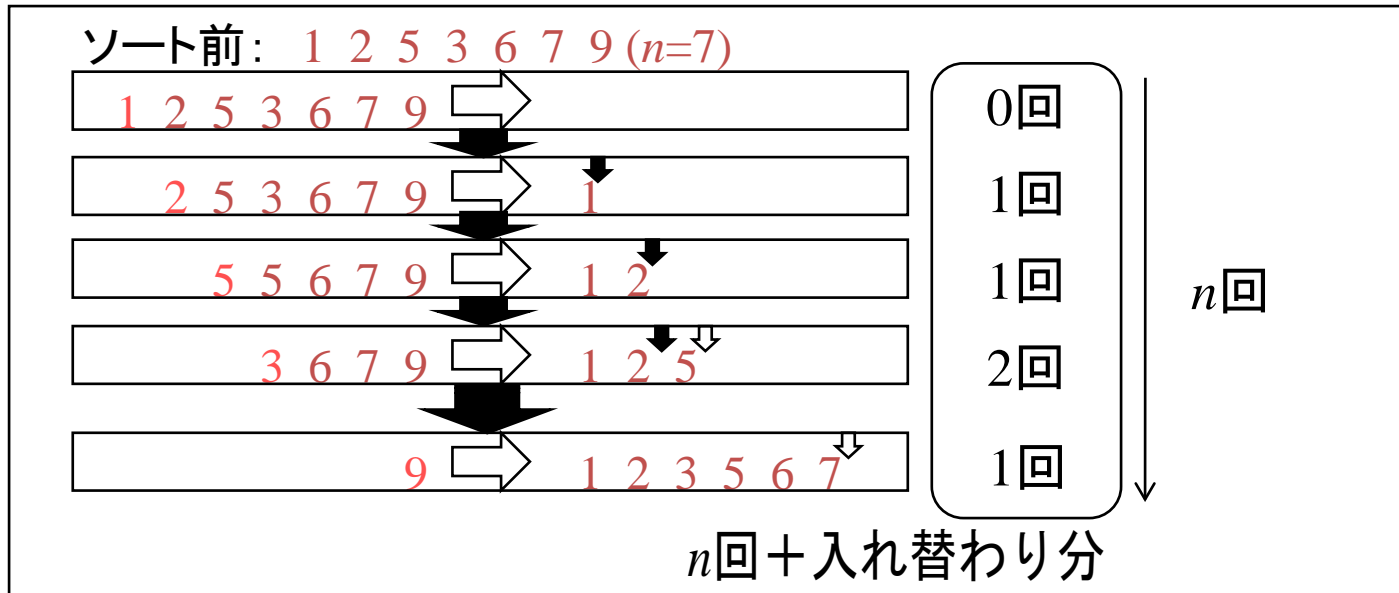
- 物理シミュレーション → 物体は、それほど入れ替わらない
- → ほとんどソート済み → Insert sort が早い
- Insert sort 通常時：



$$\frac{1}{2} \left(\frac{n}{2} \right) \times n = \frac{n^2}{4} \quad O(n^2)$$

Sweep and prune に最適なソート

- Insert sort ほとんどソート済みの場合：



$$O(n + \text{入れ替わり分}) = O(n + \alpha n) = O(n)$$

(α : 隣との入れ替わりが起こる割合)

- 参考: ランダムに入れ替わる場合：

$$O(n + \text{入れ替わり分}) = O(n + \alpha n \cdot \beta n) = O(n^2)$$

α : 入れ替わりが起こる割合,

β : 入れ替わり先の位置の比

1 2 7 5 6 3 9

$$\beta = \frac{3}{7}$$

Sweep and pruneの計算量

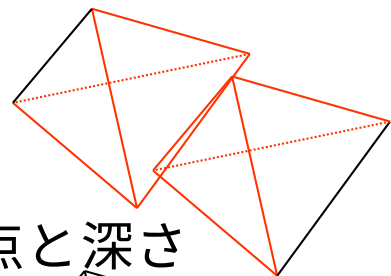
- 総当りの判定 → $O(n^2)$
- Sweep and prune → $O(\text{ソート} + n \text{回チェック})$
 - Insertion sortを使うと → $O(n)$
- Sweep and pruneとソート
 - 物体間に $<$ 演算 を導入
 - 高速なソートのアルゴリズムを利用
 - 前回の計算結果を利用

物理エンジンに必要な接触情報

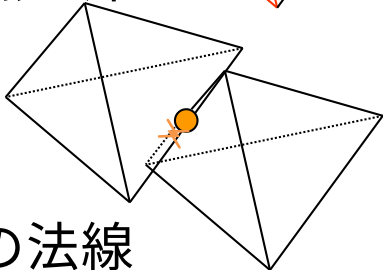
- Narrow phase : 具体的な形状 (プリミティブ・ポリゴン) 同士の判定

- 接触情報の種類

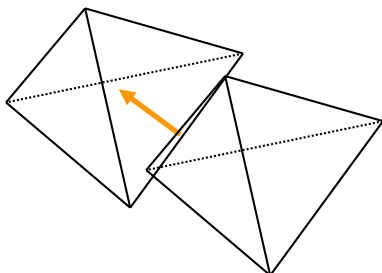
- 接触したポリゴン



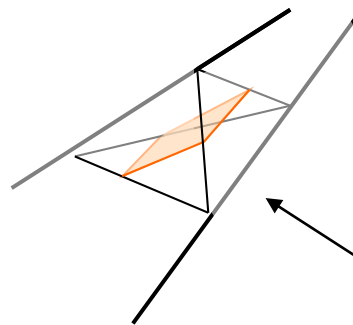
- 接触点と深さ



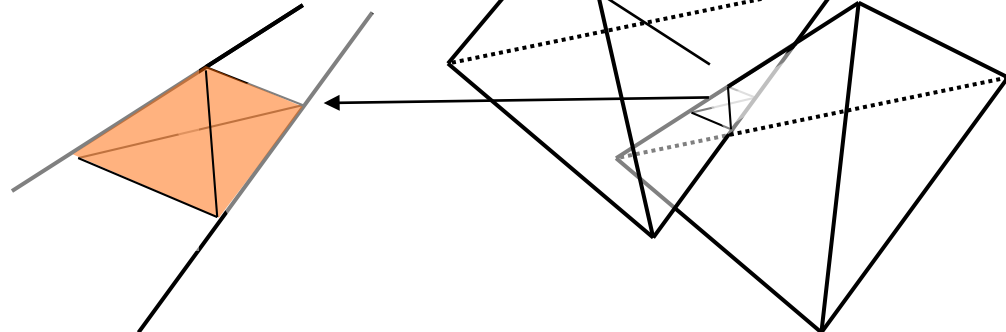
- 接触の法線



- 接触領域 (面) の形状



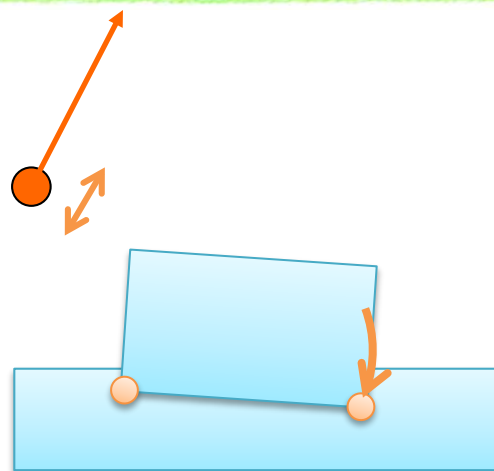
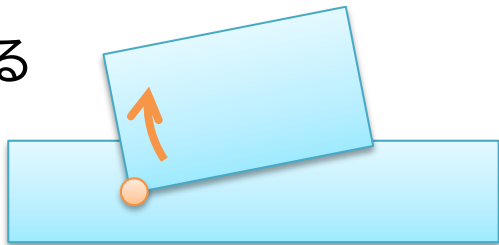
- 接触部分 (立体) の形状



接触情報と物理エンジンの挙動

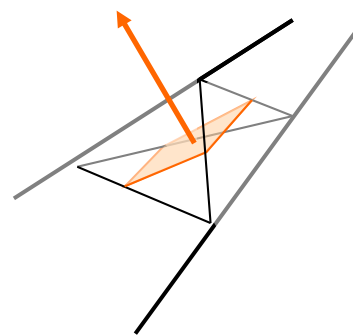
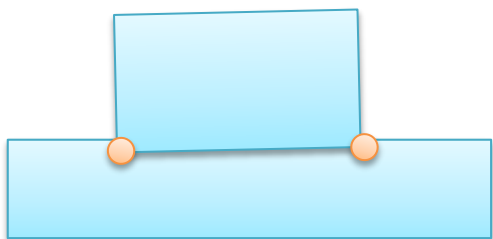
● 接触点と深さ + 法線

- 一番深い点に接触拘束をつける
- 揺れる



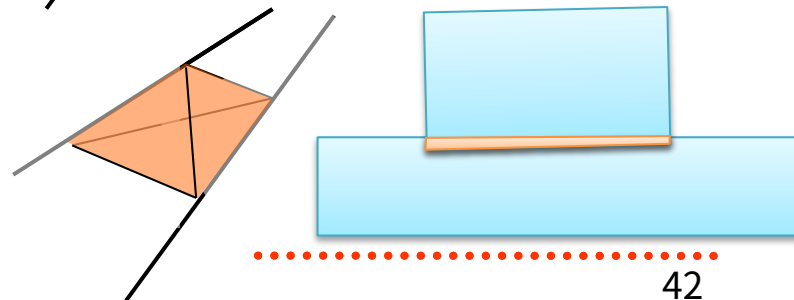
● 接触領域の頂点と深さ + 法線

- 安定



● 接触領域の体積（形状） + 法線

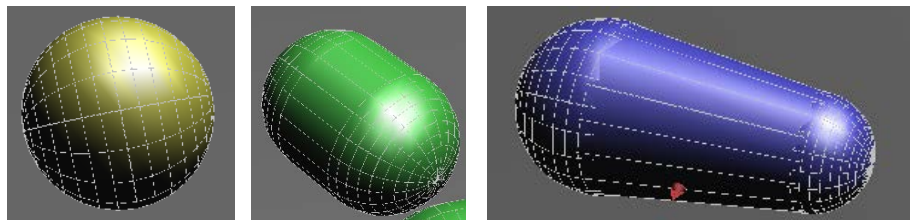
- 摩擦力の分布なども計算可能



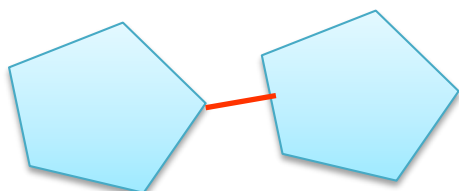
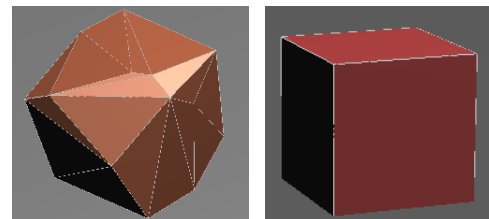
接触点と法線を求める

●形状の表現

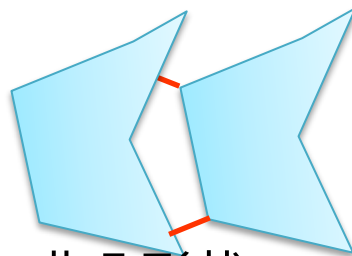
- プリミティブ、



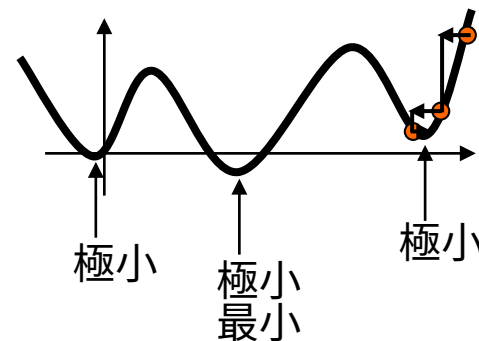
凸ポリゴン



凸形状



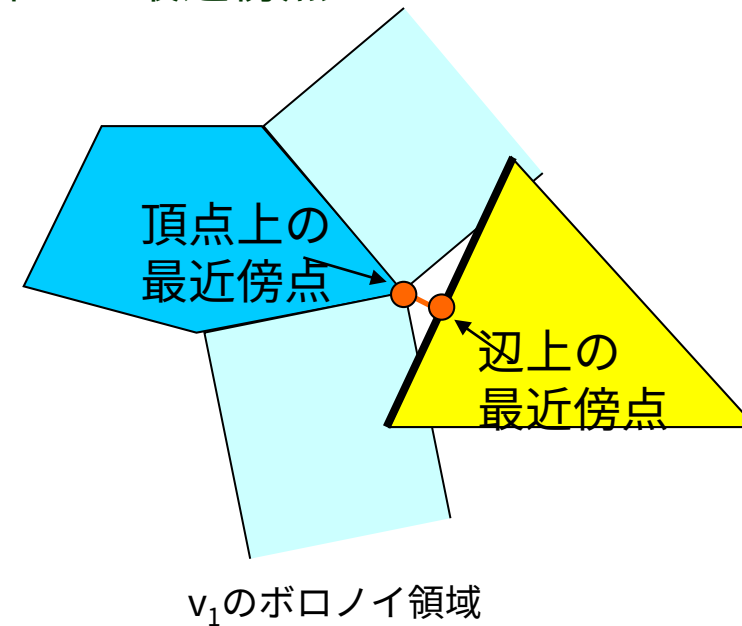
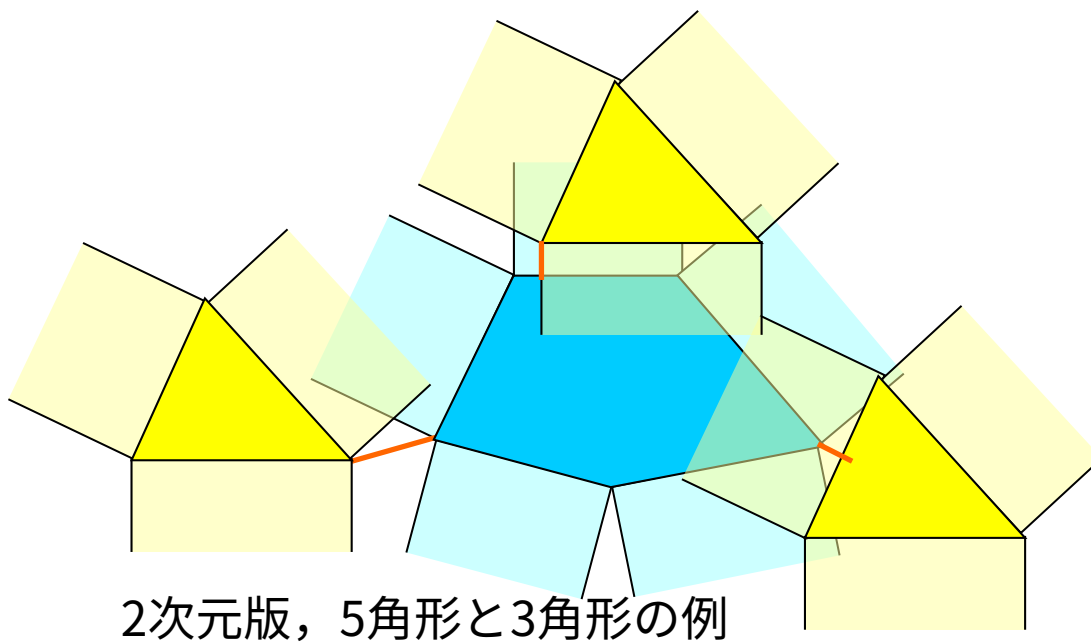
非凸形状



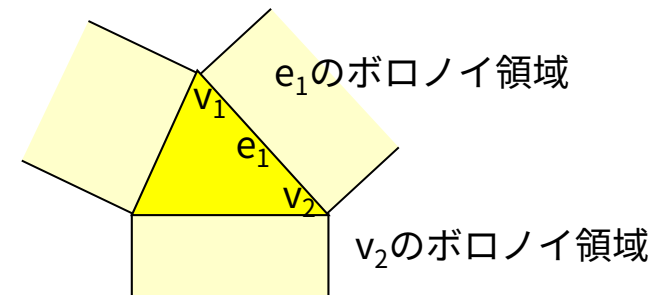
- 凸形状 距離が極小となる点が1点 → 最近傍点が簡単に求まる
 - Lin-Canny algorithm (1991)
 - GJK(Gilbert-Johnson-Keerthi) algorithm (1988)
- 非凸ポリゴン同士を扱える物理エンジンは少ない。
 - 予め凸分割した方が速いので

Lin-Canny algorithm

- 頂点/辺/面のボロノイ領域に，もう一つの凸多面体上の頂点/辺/面上の最近傍点が含まれていれば，そのペアが2凸多面体上の最近傍点のペア

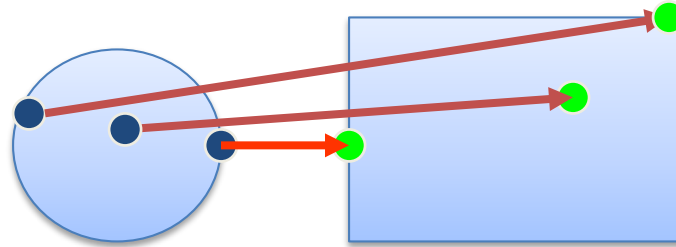


- 含まれていなければ，より近くなる隣の頂点/辺/面へ移動．

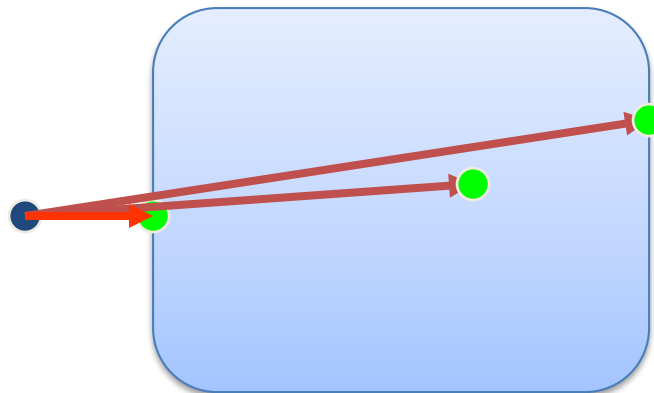


GJK

- 凸形状A上の点から，凸形状B上の点へのベクトルを原点を始点に並べる（Minkowski sum）とベクトルの終点の集合も凸形状になる



元の図形

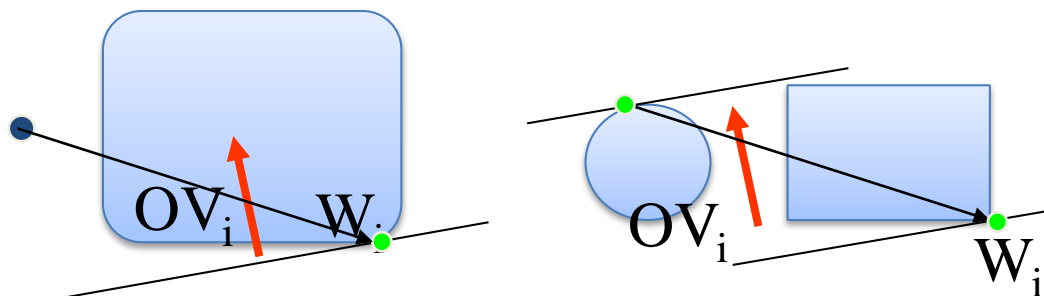
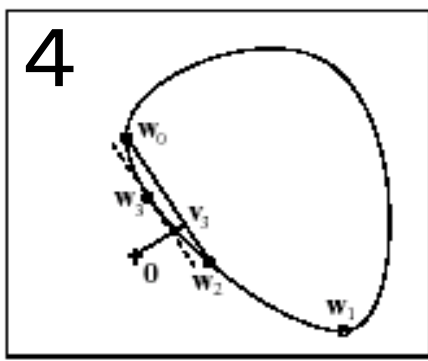
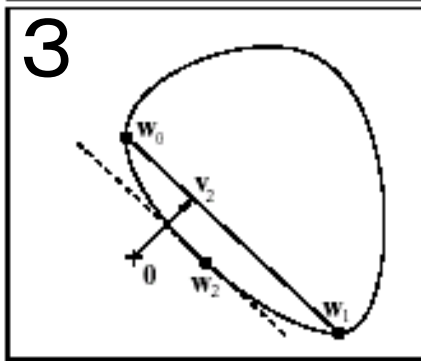
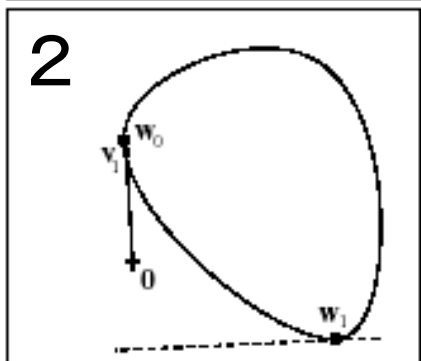
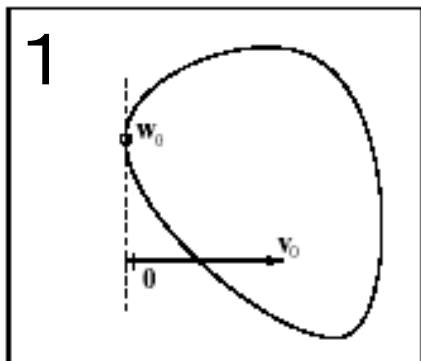


Minkowski Sum をとったもの

GJK

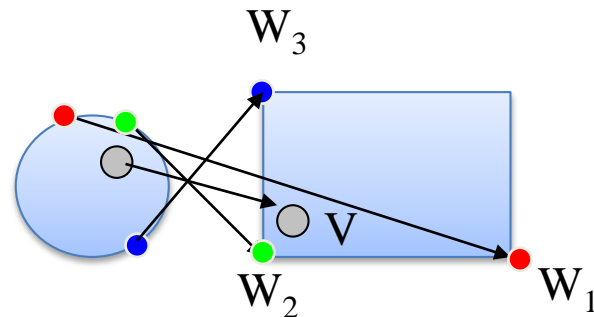
V_0 : 凸形状内の任意の点

W_i : $\overrightarrow{OV_i}$ と $\overrightarrow{OW_i}$ の内積が最小の点 (support point)



V_i : 三角形 $W_{i-2} W_{i-1} W_i$ 内の点で原点に一番近い点

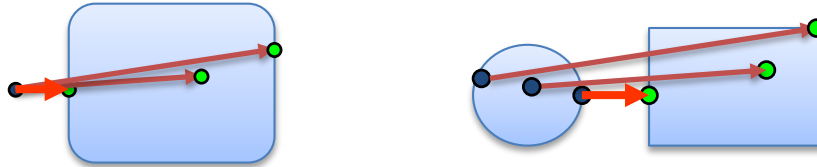
$$V_i = s W_{i-2} + t W_{i-1} + (1-s-t) W_i$$



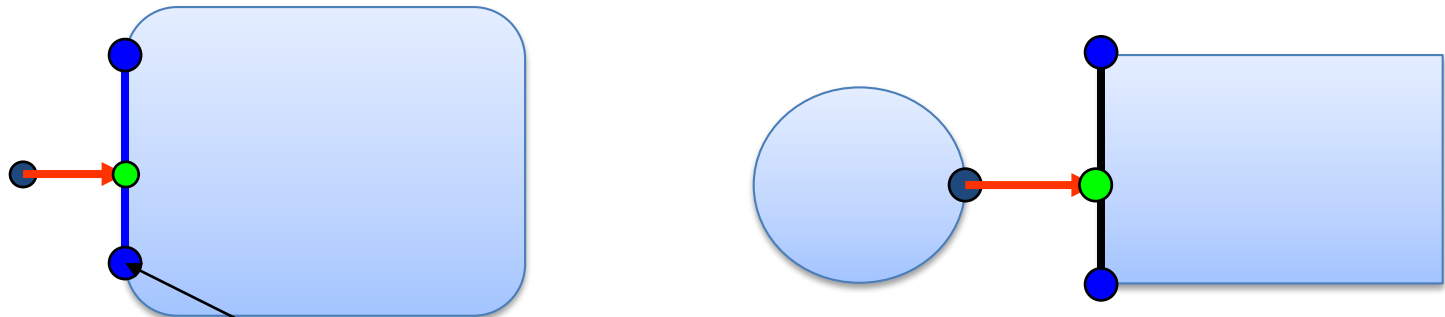
元の図形上で、最近傍点が求まる

GJKの結果の解釈

- 法線 そのままもとの世界の法線



- 接触点 Support point を内分した点
→ 実世界の Support points を内分して求める。



これを求める→実世界の頂点の引き算
どれを使ったか覚えておけば元に戻せる

安定性と制御

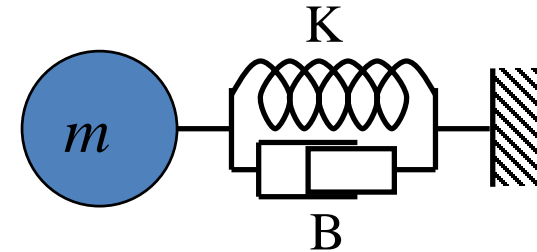
安定性と積分の方法

●前進 (Explicit) 積分と後退 (Implicit) 積分

●バネ・ダンパの運動方程式

$$M\dot{v}(t) = \lambda(t)$$

$$\lambda(t) = -Kx(t) - Bv(t)$$

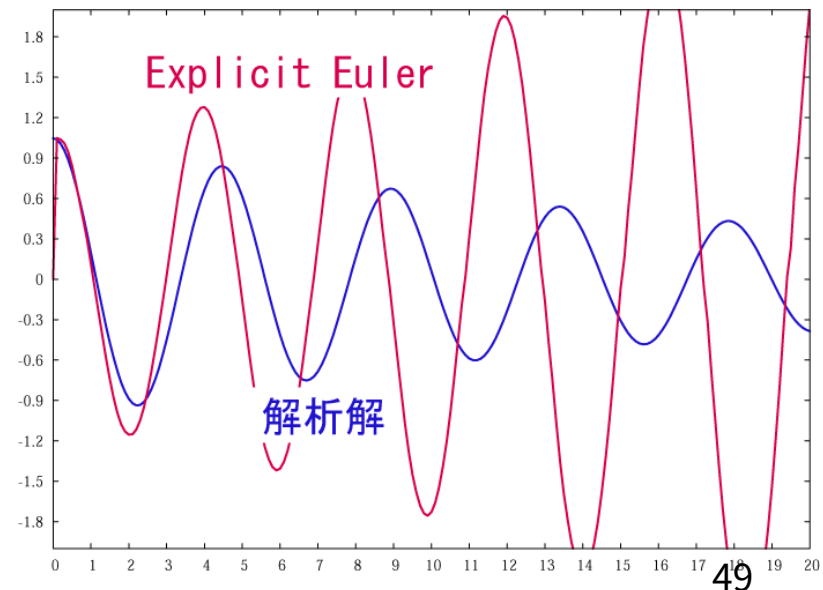


●Explicit Euler 法

$$v[t + 1] = v[t] + M^{-1}\lambda[t]\Delta t$$

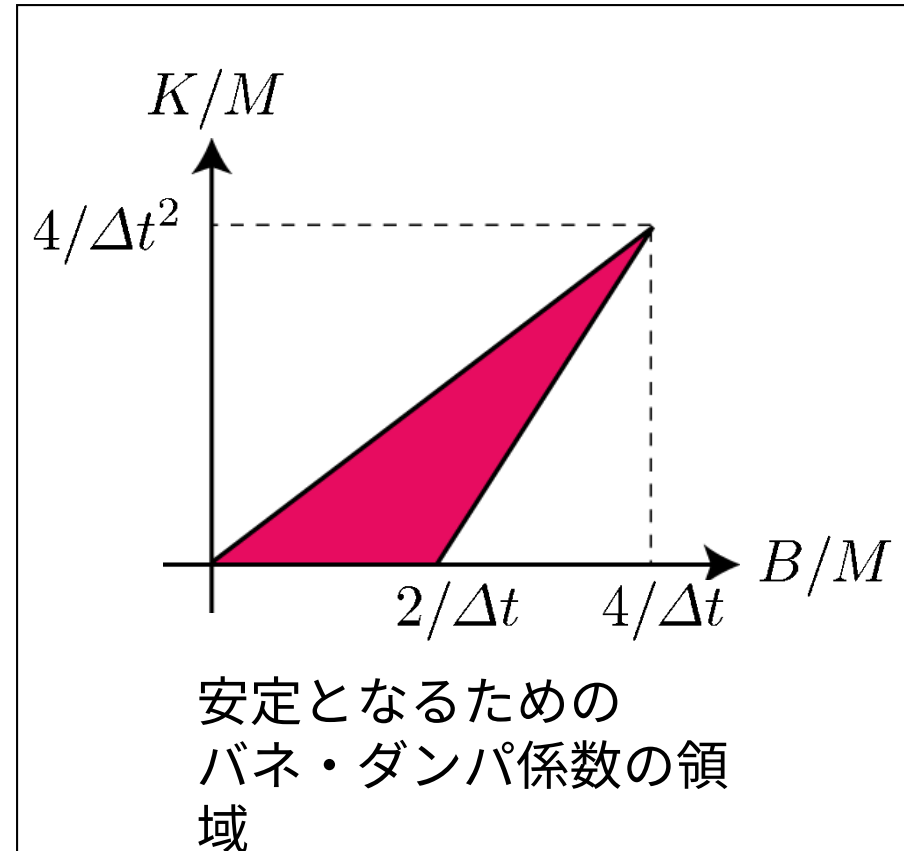
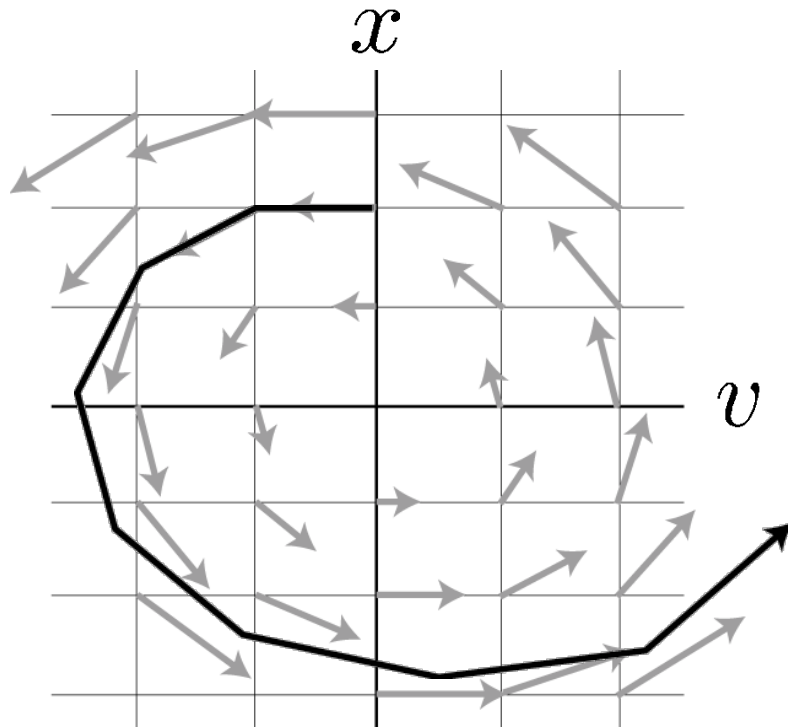
$$\lambda[t] = -Kx[t] - Bv[t]$$

バネ・ダンパ係数やステップ幅を大きくすると不安定となる



バネ・ダンパの計算法 (Explicit Euler法・前進積分)

なぜ不安定？



現在時刻の位置・速度から現在時刻の力を計算

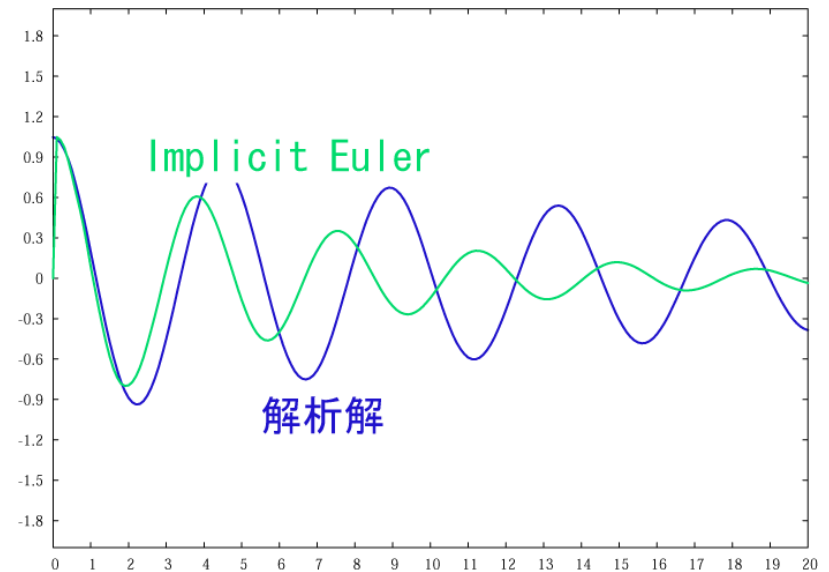
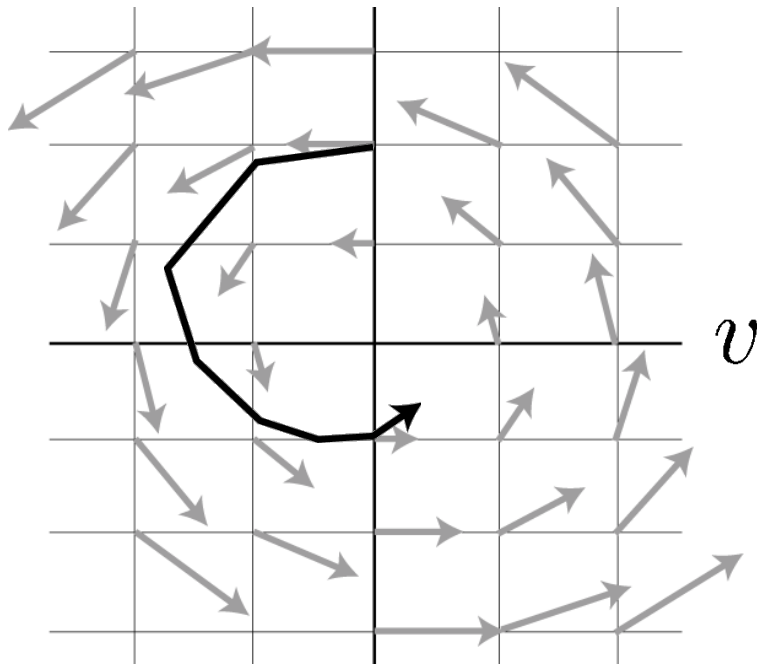
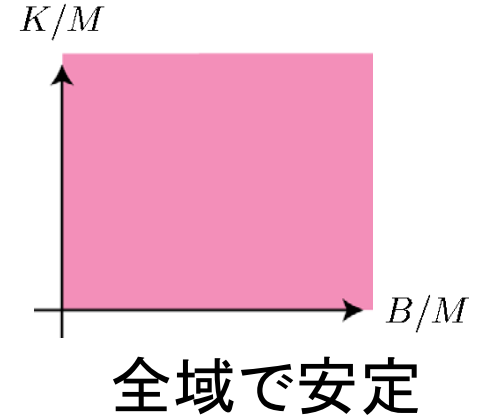
→ 積分誤差による不安定化

バネ・ダンパの計算法 (Implicit Euler法・後退積分)

次の時刻の位置・速度から現在時刻の力を計算

$$v[t + 1] = v[t] + M^{-1} \lambda[t + 1] \Delta t$$

$$\lambda[t + 1] = -Kx[t + 1] - Bv[t + 1]$$



拘束を満たす時刻と安定性

加速度ベース [baraff 89など]

運動方程式 $Ma[t] = f[t] + J[t]^T \lambda[t]$

拘束式 (加速度レベル) $J[t]a[t] + \dot{J}[t]v[t] = 0$

この瞬間[t]に、拘束を満たす

連立 $(JM^{-1}J^T)[t]\lambda[t] + (J[t]M^{-1}f[t] + \dot{J}[t]v[t]) = 0$

速度更新 $v[t + 1] = v[t] + a[t]\Delta t$

位置更新 $p[t + 1] = p[t] + v[t + 1]\Delta t$

$(t \leftarrow t + 1)$

積分誤差の累積によるドリフト

拘束運動の計算法

速度ベース [Stewart96など]

運動方程式 $Ma[t] = f[t] + J[t]^T \lambda[t]$

連立

$$Jv[t + 1] = (JM^{-1}J^T)[t]\lambda[t]h + J[t]v[t]$$

速度更新 $v[t + 1] = v[t] + a[t]\Delta t$

拘束式 (速度レベル) $J[t]v[t + 1] = 0$ 次の時刻[t+1]に拘束を満たす

位置更新 $p[t + 1] = p[t] + v[t + 1]\Delta t$

$(t \leftarrow t + 1)$

積分(速度更新)を考慮して拘束力を計算→ドリフトが少ない

拘束と運動方程式の連立方程式を解く

- 拘束を代入するために、 J を使って運動方程式を変形する

$$M\dot{u} = f_c + f_e = J^t \lambda + f_e$$

$$u[t+1] = u[t] + M^{-1} \Delta t J^t \lambda + M^{-1} \Delta t f_e$$

$$u[t+1] = u[t] + M^{-1} \Delta t J^t \lambda + M^{-1} \Delta t f_e$$

$$Ju[t+1] = Ju[t] + JM^{-1} \Delta t J^t \lambda + JM^{-1} \Delta t f_e$$

$$w[t+1] = w[t] + JM^{-1} J^t \Delta t \lambda + JM^{-1} \Delta t f_e$$

$$w[t+1] = A\lambda + b$$

ここが、 $w[t+1]$ なので、

- 拘束条件と連立させる(蝶番の例)

$$\text{拘束: } w_1, w_2, w_3, w_4, w_5 = 0$$

$$\lambda_6 = 0$$

拘束は、 $w[t+1]$ についての拘束になっている

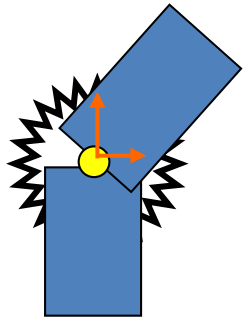
運動方程式に代入：

$$\begin{bmatrix} 0 \\ 0 \\ 0 \\ 0 \\ 0 \\ w_6[t+1] \end{bmatrix} = A \begin{bmatrix} \lambda_1 \\ \lambda_2 \\ \lambda_3 \\ \lambda_4 \\ \lambda_5 \\ 0 \end{bmatrix} + b$$

← 連立方程式を解いて求める

Implicitのバネダンパ

- 時刻[t+1]にバネダンパの制約を満たす



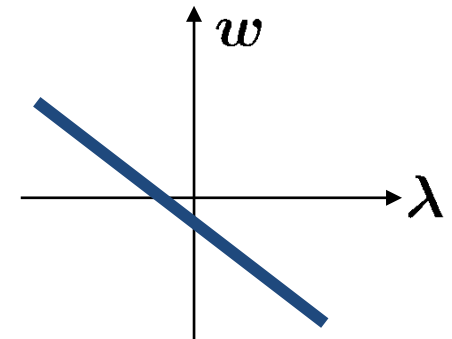
q_i	関節角度	伸び (定数)
w_i	関節角速度	伸びの速度
λ_i	関節トルク	バネダンパ力

- 回転のバネダンパー

$$\lambda_6 = -K(q_6[t] + w_6[t + 1]\Delta t) - Bw_6[t + 1]$$

- 並進のバネダンパー

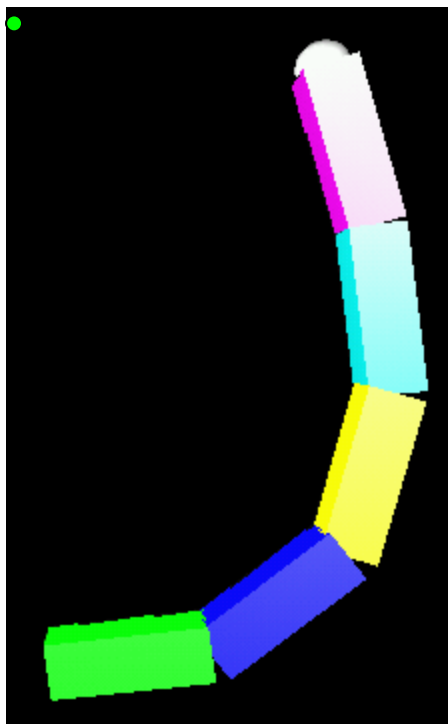
$$\lambda_1 = -K(q_1 + w_1[t + 1]\Delta t) - Bw_1[t + 1]$$



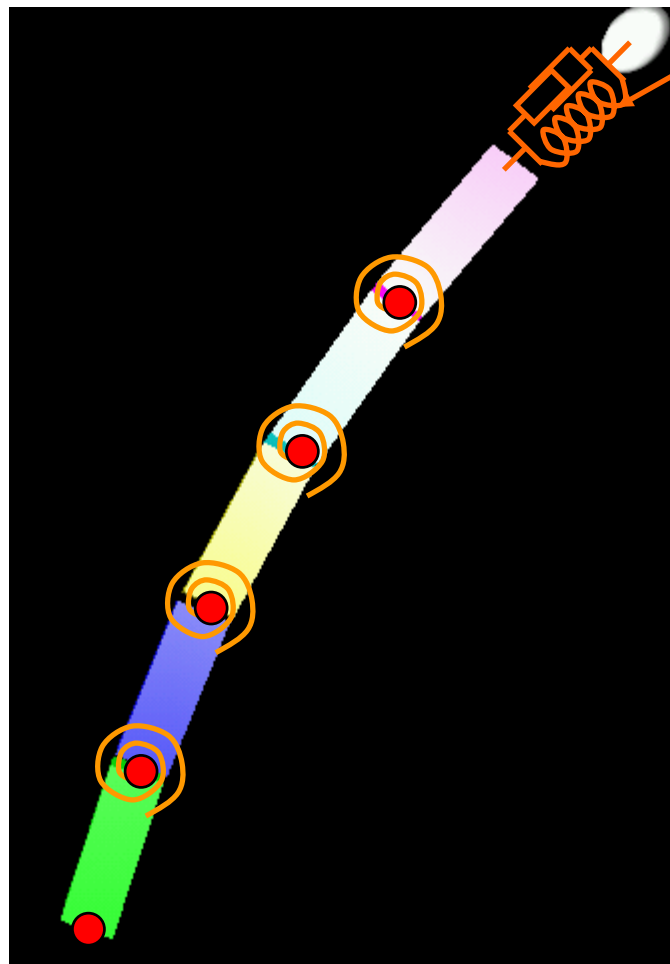
シミュレーションに組み込むことができる

安定性の比較

- 剛体
- 蝶番
- バネダンパ
- 重力

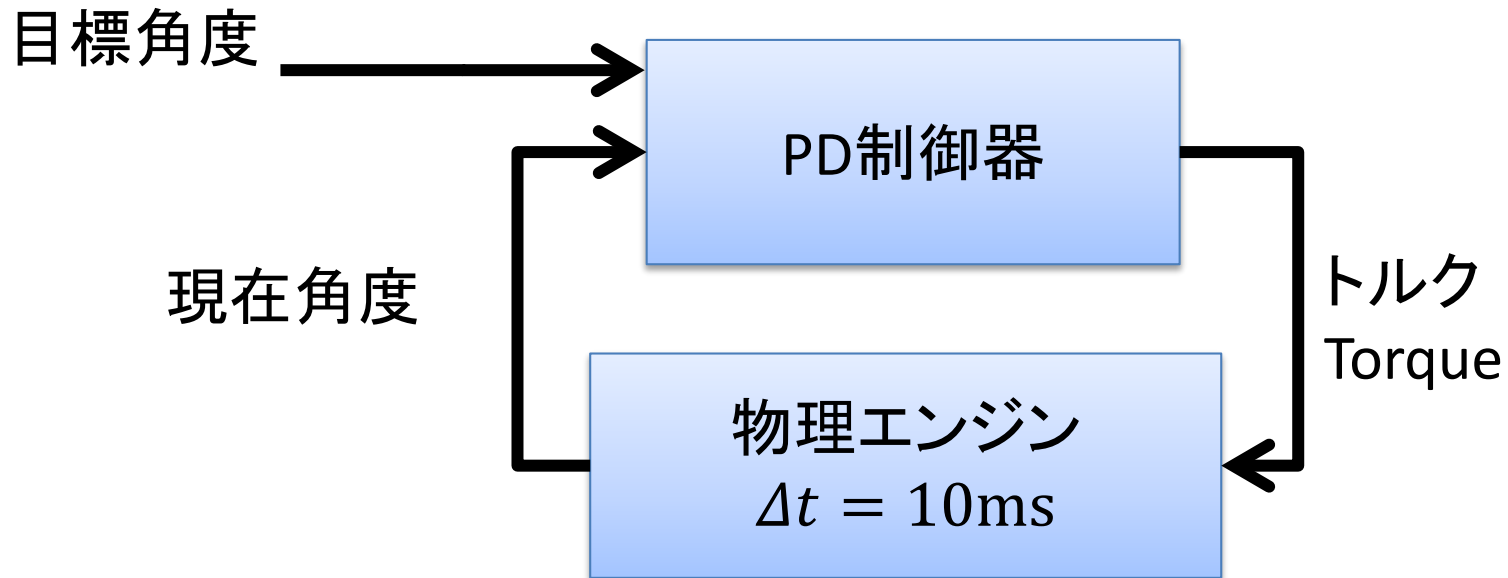


このバネ・ダンパについて
Implicit版とExplicit版を比較



物理エンジン内のモデルの制御

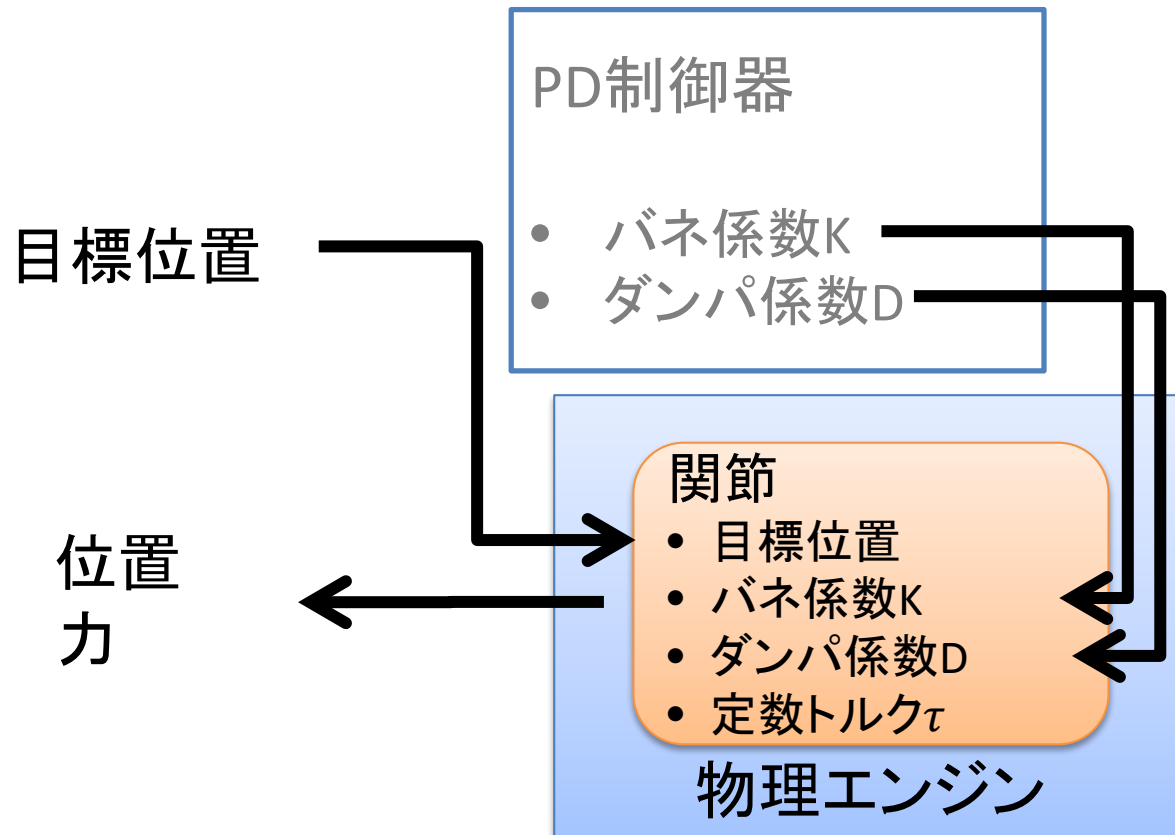
- 制御器を外につけると不安定
 - Explicit（前進積分）にどうしてもなってしまう



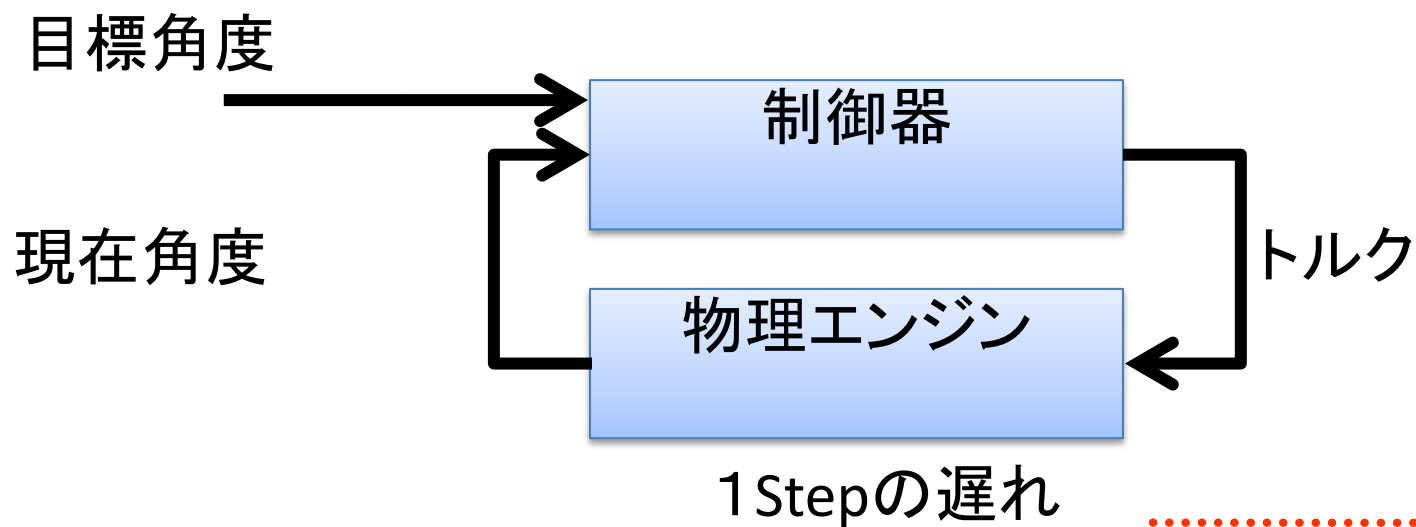
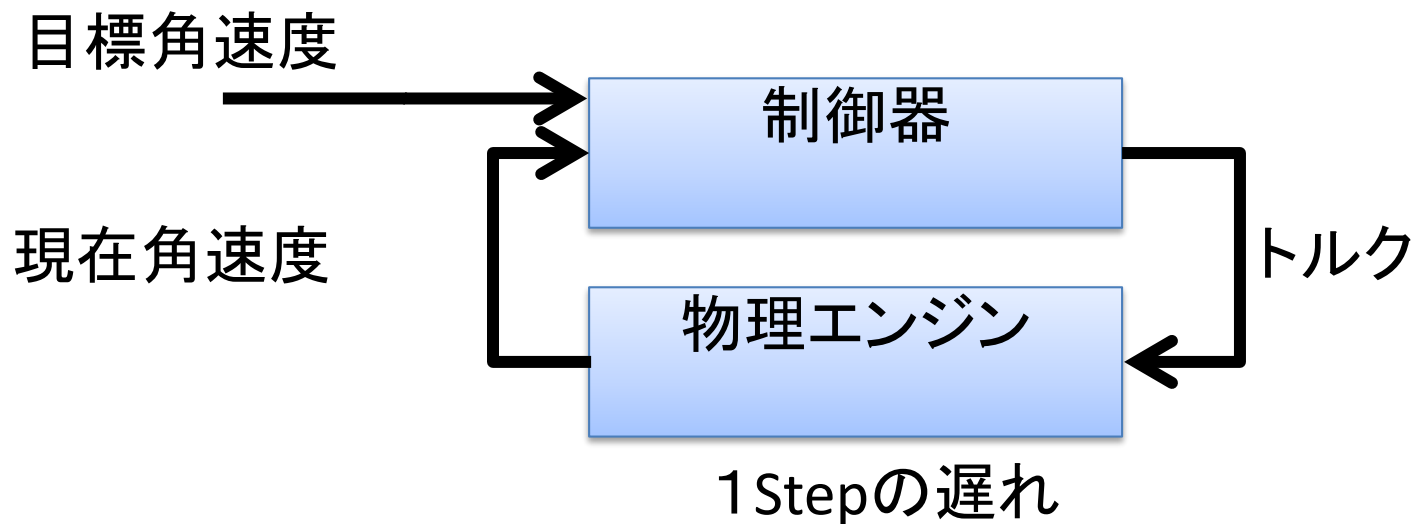
1 step の遅れ → 発振の元

物理エンジン内のモデルの制御

- 制御器を物理エンジンの中に入れば安定に
- 物理エンジンの中の制御器はImplicit(後退積分)

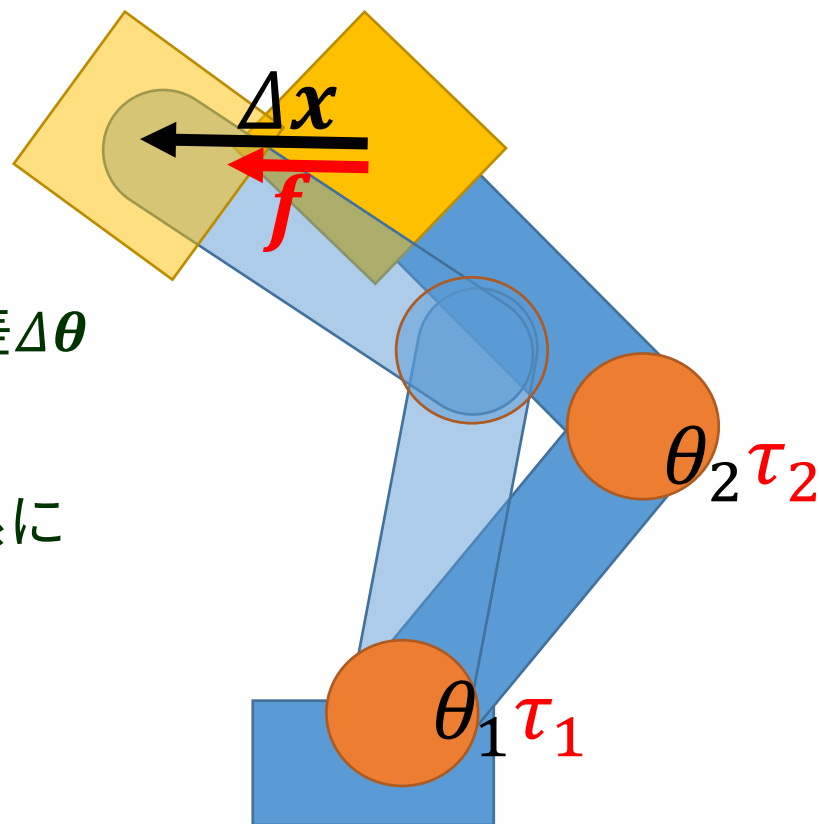


不安定になる例



手先位置のPD制御

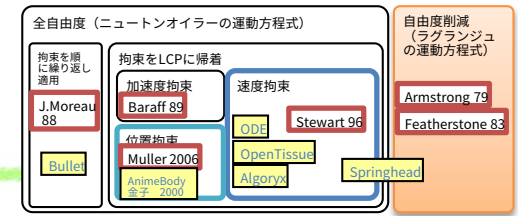
- 制御器が外にある場合
手先位置の誤差 Δx \rightarrow 手先に生じる力 f
 \rightarrow 関節トルク τ も可能だが、
- 制御器を物理エンジンに入れたい
手先位置の誤差 Δx \rightarrow 関節角の誤差 $\Delta \theta$
 \rightarrow 目標関節角 θ_{goal}
- ヤコビアン J を使って、関節座標系に変換すれば良い $\Delta x = J \Delta \theta$



関節だけ高精度にシミュレーションする手法



Articulated Bodyのシミュレーション

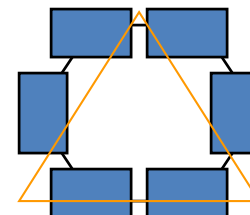
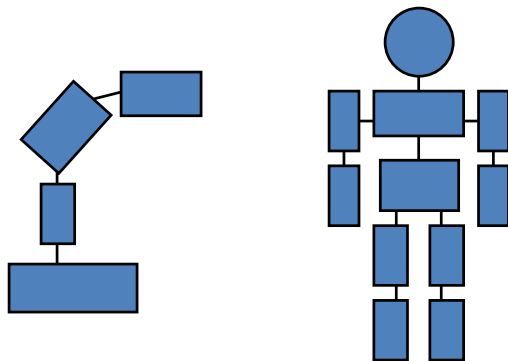


● Articulated Body

- 多数の剛体を関節でつないだもの
 - 動物や人間の体，ロボットなど
- 普通にLCPでも解けるが...

● 自由度削減法

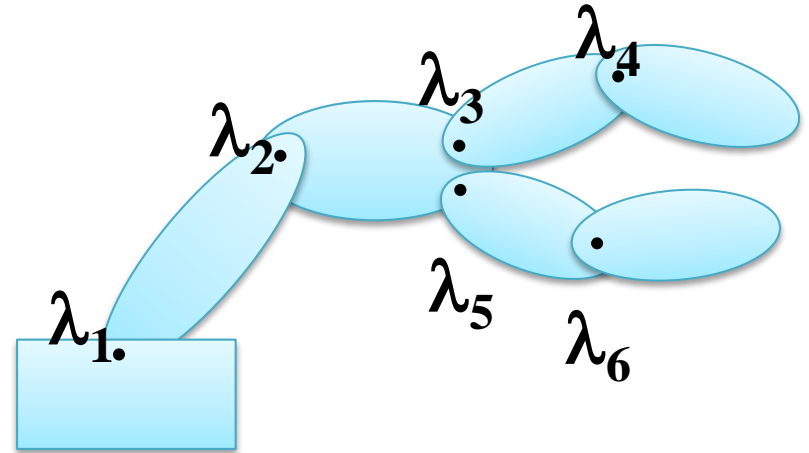
- 可動関節だけをシミュレーション
- 剛体が輪になっていない = 木構造 で高速な手法



輪になっている例

繰り返し計算の誤差の問題

- 繰り返しの打ち切りにより剛体の速度 \mathbf{u} に誤差
→ 関節がずれる等の問題



$$\mathbf{w}[t + 1] = \mathbf{A}\boldsymbol{\lambda} + \mathbf{b}$$

- 誤差をなくすには
 - 関節だけ誤差のない直接法で計算する (Algoryx)
 - 自由度削減法を使う (Springhead)

から $\boldsymbol{\lambda}$ を解いて、剛体の速度 \mathbf{u} を更新
速度 \mathbf{u} から剛体の姿勢 \mathbf{s} を更新

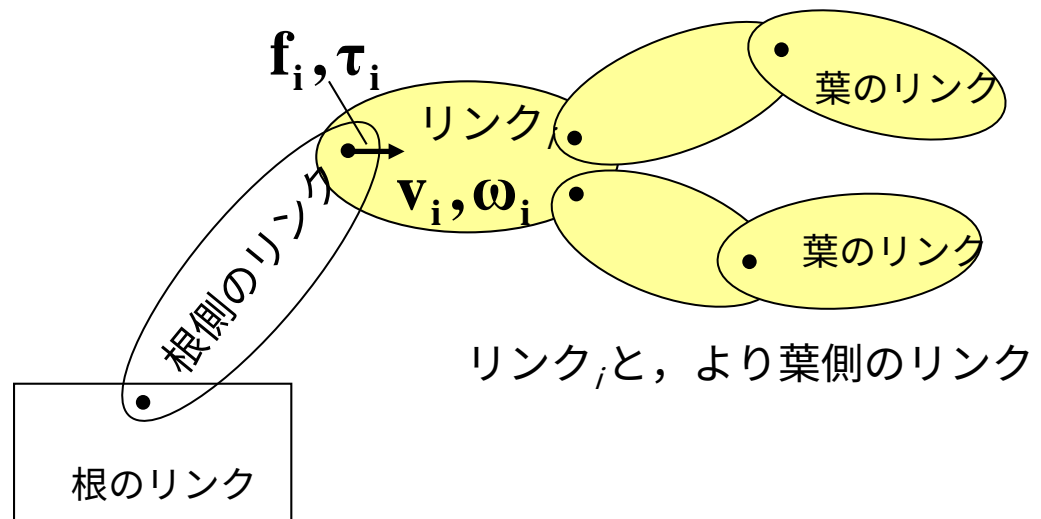
Featherstoneの方法

- 状態変数

- 根のリンクの速度・角速度，位置・姿勢
- 各関節の可動部分の角度，角速度

- リンクの位置・速度など他の値は持たない

- 関節が外れることはない



関節の拘束力の計算

● Featherstoneの方法 木構造のリンク用

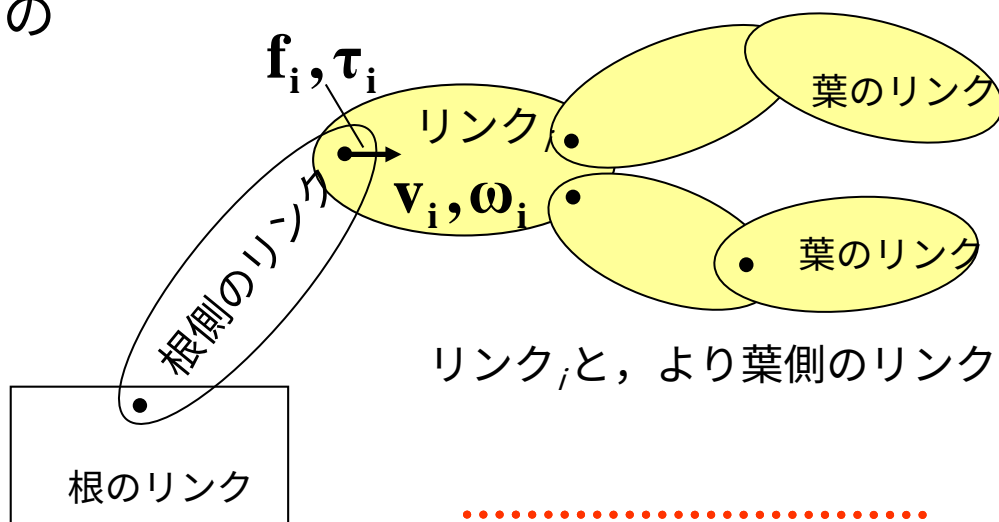
- リンク*i*の運動方程式は,

$$\begin{pmatrix} \mathbf{f}_i \\ \boldsymbol{\tau}_i \end{pmatrix} = \mathbf{I}_i \begin{pmatrix} \dot{\mathbf{v}}_i \\ \dot{\boldsymbol{\omega}}_i \end{pmatrix} + \mathbf{Z}_i$$

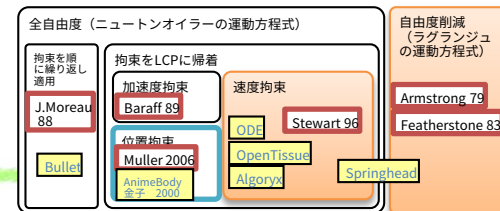
\mathbf{I}_i : リンク*i*と葉側のリンクの慣性項
 \mathbf{Z}_i : 外力, 重力, コリオリ力による項
 $\mathbf{I}_i, \mathbf{Z}_i$ は関節加速度によらない

のように, 書ける.

- $\mathbf{I}_i, \mathbf{Z}_i$ はリンク*i*と葉側のリンクの姿勢・速度で決まる
- $\mathbf{I}_i, \mathbf{Z}_i$ を葉から順に計算
- 根側から, $\mathbf{v}_i, \boldsymbol{\omega}_i$ を計算



FeatherstoneのLCPへの組み込み



- LCPによる定式化では、剛体の質量・慣性を並べて運動方程式を作った

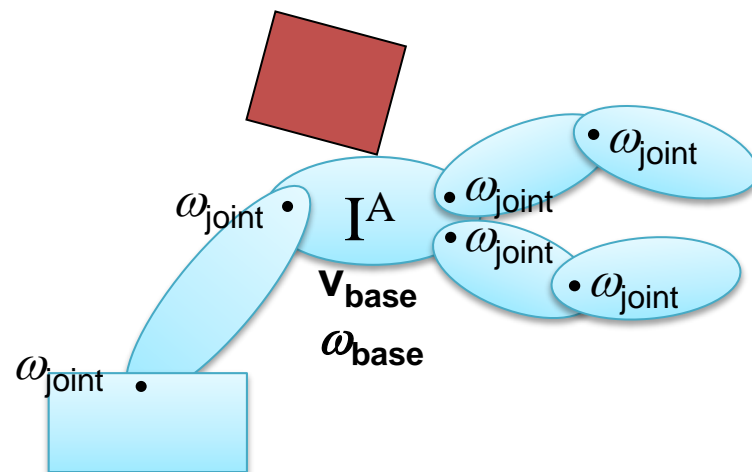
$$M\dot{u} = J\lambda + f_e$$

$$M = \begin{bmatrix} M_1 & & & \\ & M_2 & & \\ & & \ddots & \\ & & & M_n \end{bmatrix} \quad M_i = \begin{bmatrix} m_i \mathbf{E}_{33} & \\ & I_i \end{bmatrix} \quad u = \begin{bmatrix} v_1 \\ \omega_1 \\ \vdots \\ v_n \\ \omega_n \end{bmatrix} \quad f_e = \begin{bmatrix} f_{e1} \\ \tau_{e1} \\ \vdots \\ f_{en} \\ \tau_{en} \end{bmatrix}$$

$$u[t+1] = u[t] + M^{-1} \Delta t J \lambda + M^{-1} \Delta t f_e$$

- これにArticulated Bodyを加えると

$$M = \begin{bmatrix} M_1 & & & \\ & I^A & & \\ & & \ddots & \\ & & & M_n \end{bmatrix} \quad u = \begin{bmatrix} v_1 \\ \omega_1 \\ v_{base} \\ \omega_{base} \\ \vdots \\ v_n \\ \omega_n \end{bmatrix}$$



まとめ

- 物理エンジンと物理シミュレーションの違い
 - それまでの物理シミュレーションでは運動方程式は人が立てた
 - 物理エンジンは運動方程式を立てるのも自動
- マルチボディダイナミクスのエンジンの分類
 - 問題の種類、運動方程式、拘束の定式化、積分の仕方、方程式の解き方
- 歴史
 - 1980年 マルチボディダイナミクスの解析ツールができはじめる
 - 2000年 物理エンジン: ゲーム向けの高速, ロボット向けの高速高精度
- 物理エンジンの仕組み
 - 速度拘束をLCPに帰着させて解くタイプの物理エンジンの計算
 - 運動方程式を拘束座標系に変換して、拘束条件を代入
 - 接触判定: ブロードフェーズはソートと検索、ナローフェーズは凸だと楽
- 安定性と制御
 - Explicit(前進)とImplicit(後退)積分、Explicitは不安定
 - 制御を物理エンジンにさせれば、Implicit(後退)積分になるので安定に
- 高精度な関節
 - 繰り返し計算の打ち切りが問題、直接法やFeatherstoneの方法を使う